

Handbuch der Weberei

Atlas

J. Schanz

Plate 1 missing.

The plates that follow are reduced to 80% to fit on standard paper.

Fig. 17.

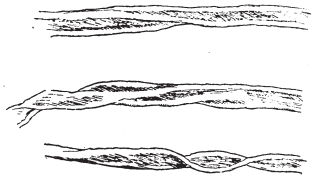


Fig. 18a.

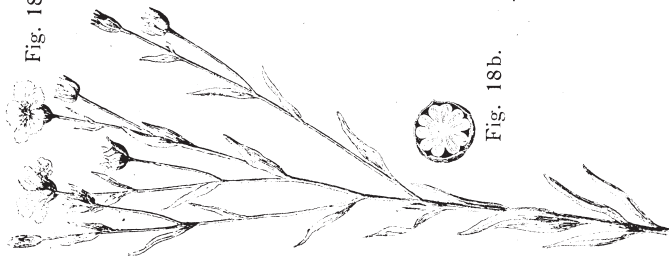


Fig. 19.

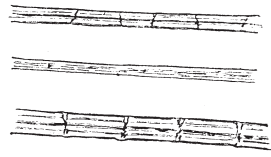


Fig. 18b.



Fig. 20.



Fig. 21.

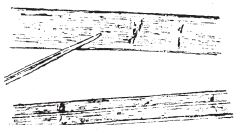


Fig. 25.



Fig. 23.

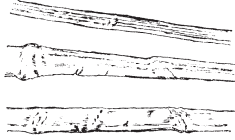


Fig. 22.

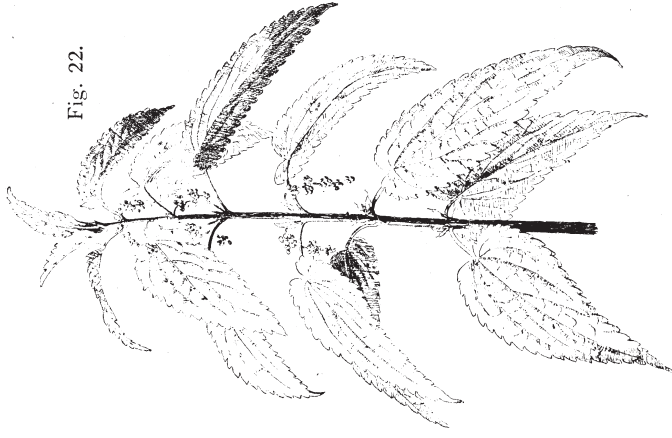


Fig. 27.

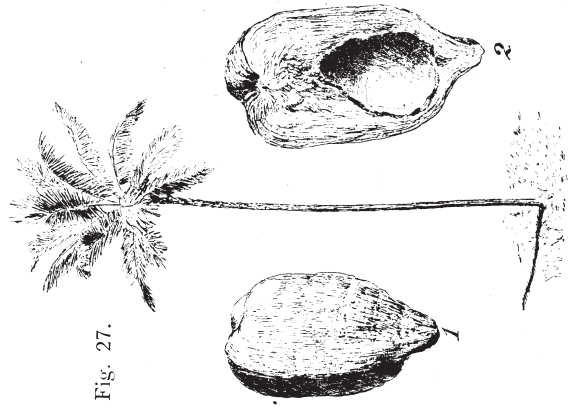


Fig. 24.



Fig. 28.

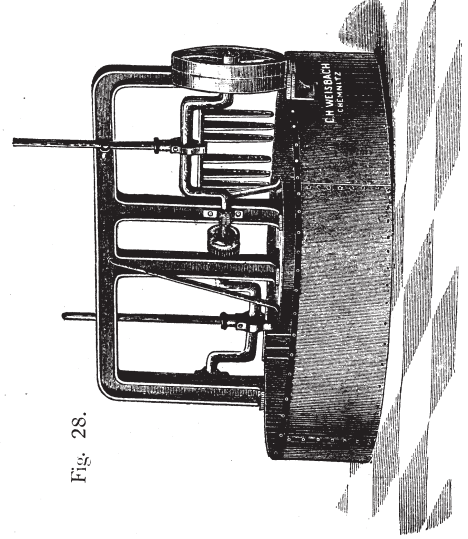
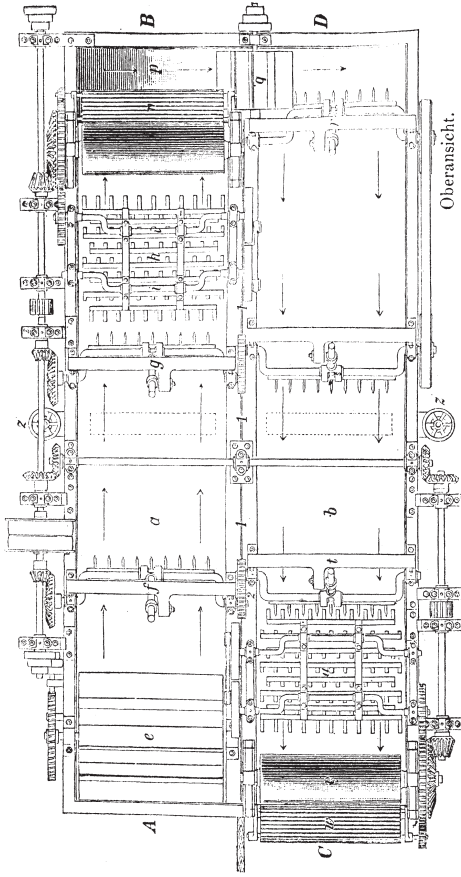


Fig. 26.

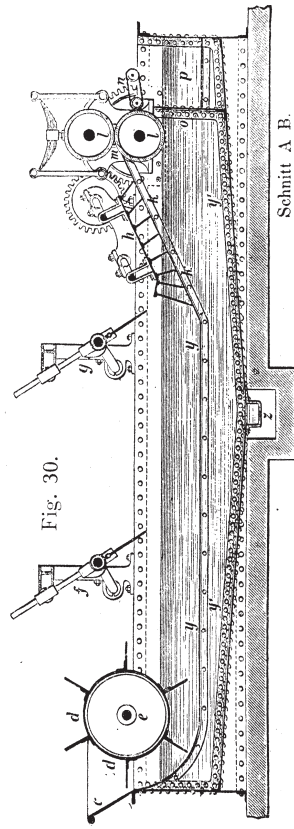


Fig. 29.



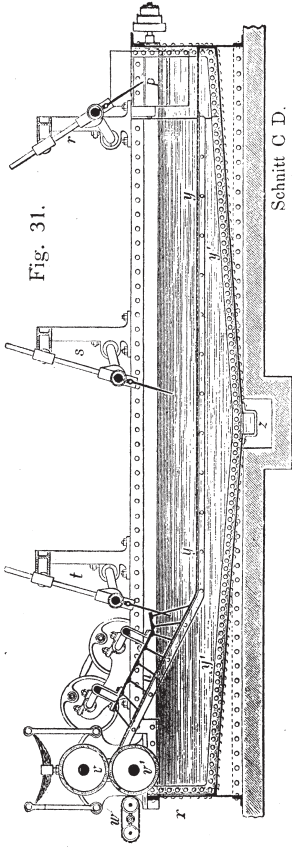
Oberansicht.

Fig. 30.



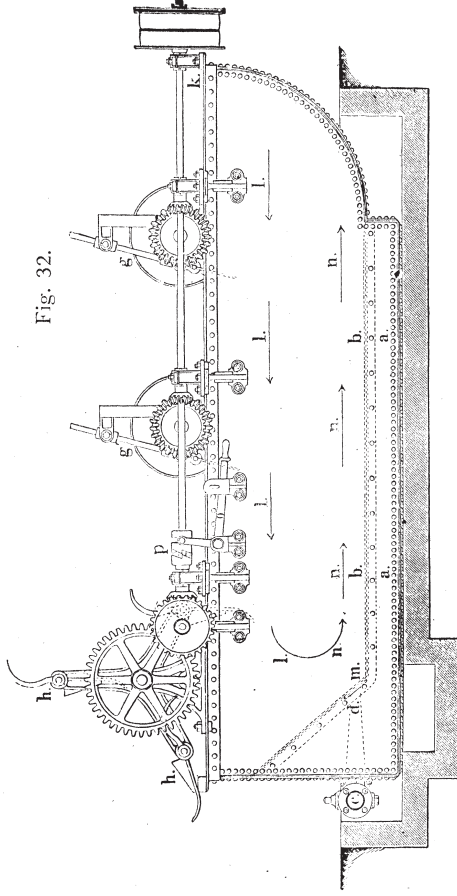
Schnitt A B.

Fig. 31.



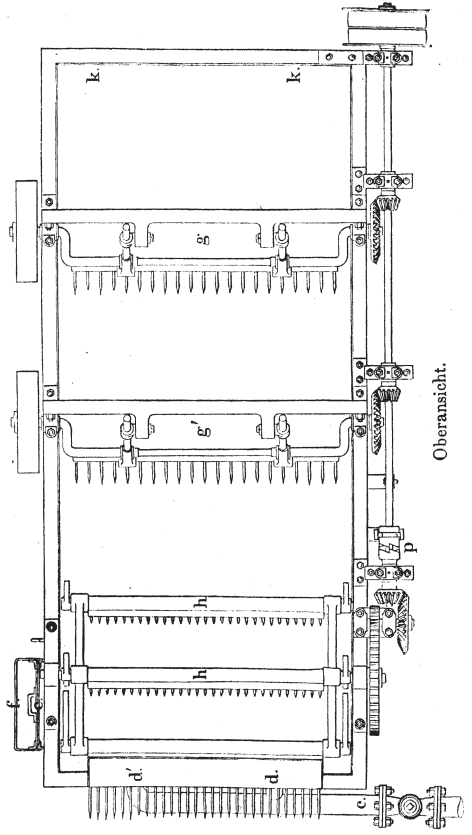
Schnitt C D.

Fig. 32.



Seitenansicht.

Fig. 33.



Oberansicht.

Fig. 34.

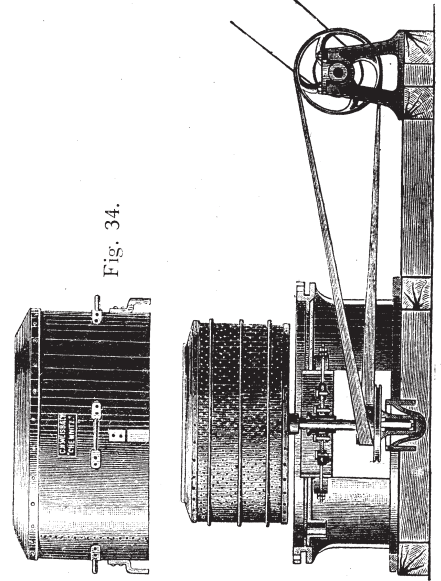


Fig. 40.

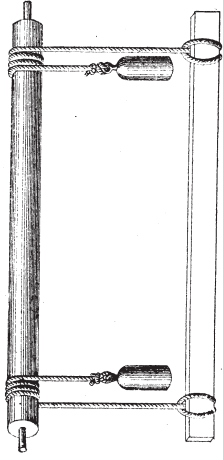


Fig. 41.

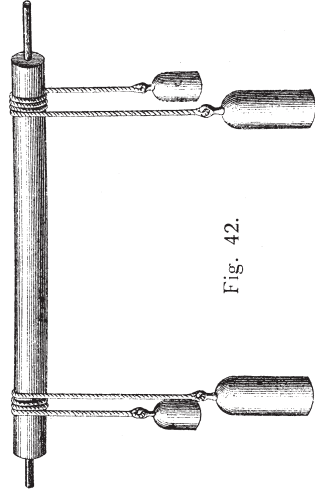
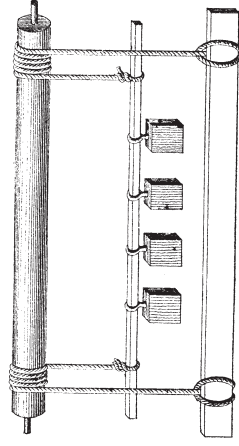


Fig. 42.

Fig. 43.

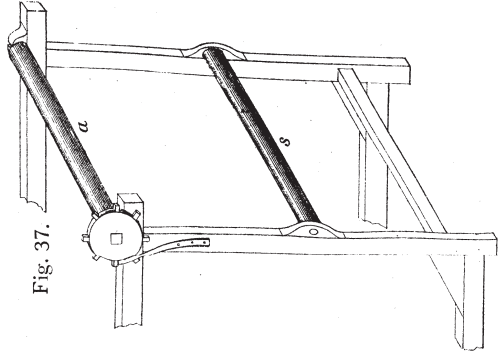
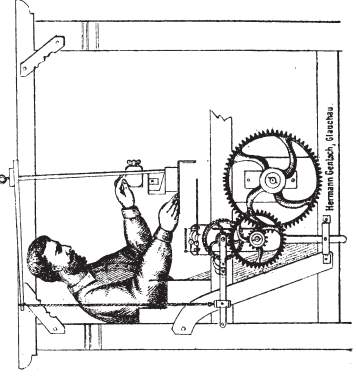


Fig. 37.

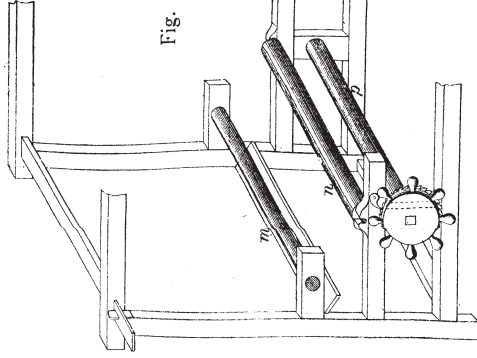


Fig. 38.

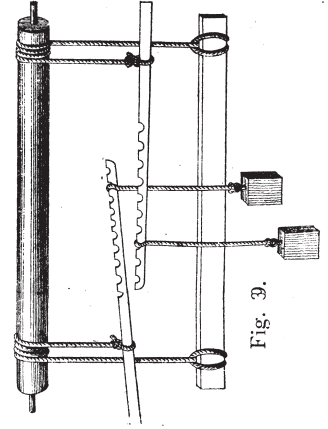


Fig. 39.

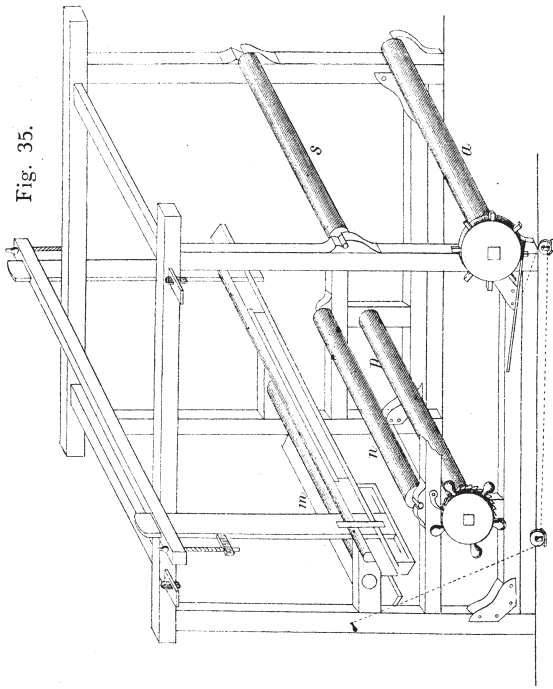


Fig. 35.

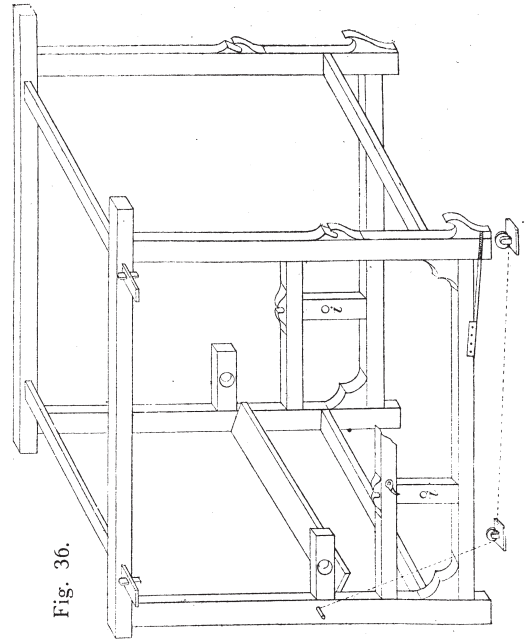


Fig. 36.

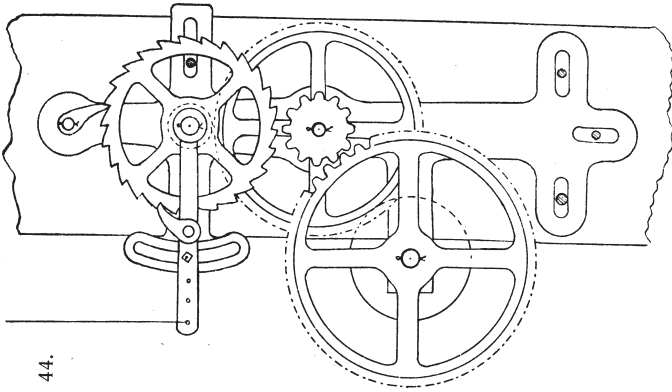


Fig. 44.

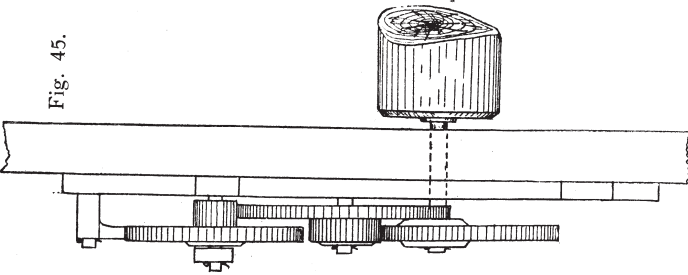


Fig. 45.

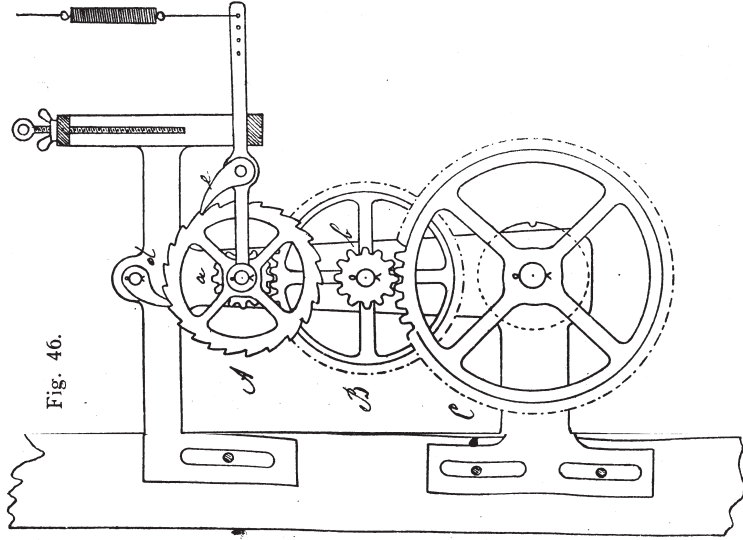


Fig. 46.

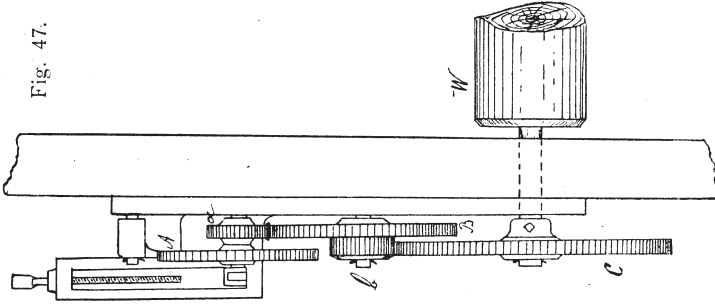


Fig. 47.

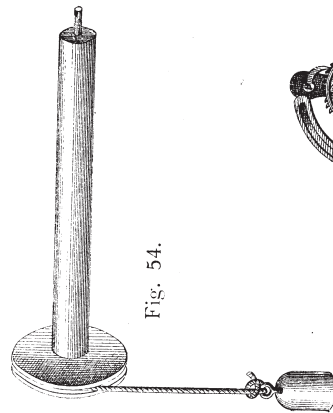


Fig. 54.

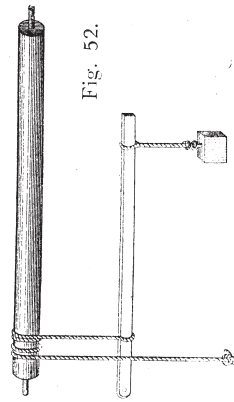


Fig. 52.

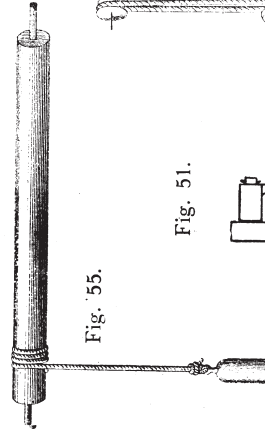


Fig. 55.

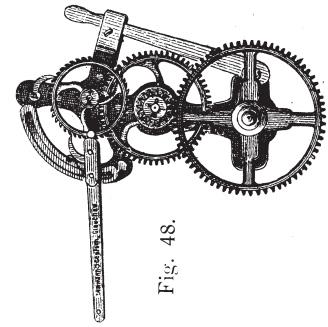


Fig. 48.

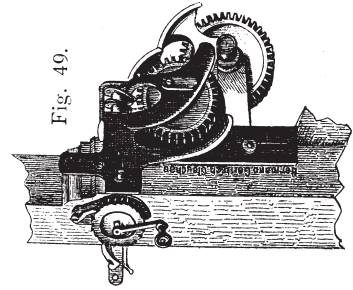


Fig. 49.

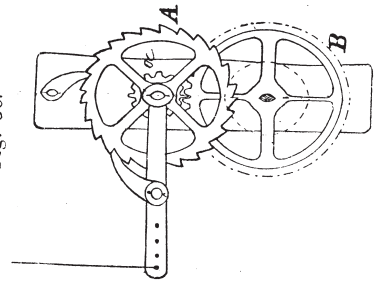


Fig. 50.

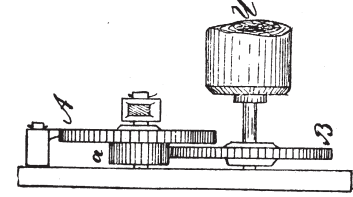


Fig. 51.

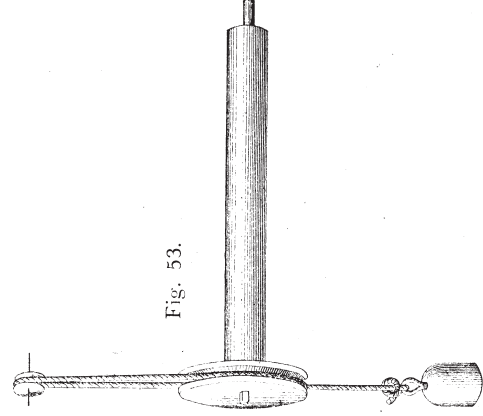


Fig. 53.

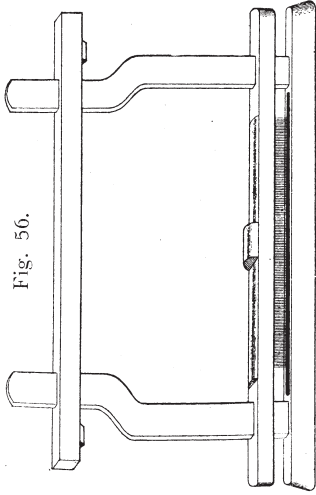


Fig. 56.

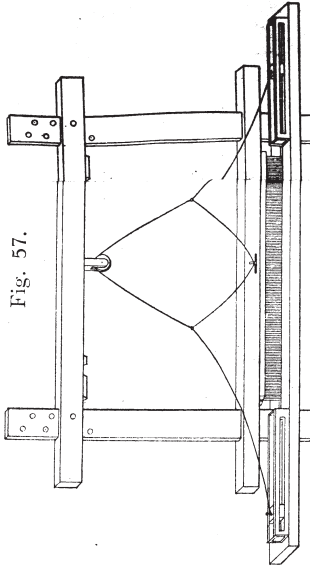


Fig. 57.

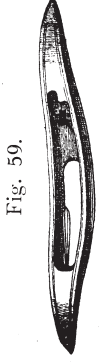


Fig. 59.



Fig. 60.

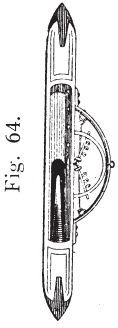


Fig. 64.



Fig. 61.

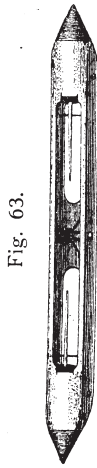


Fig. 63.

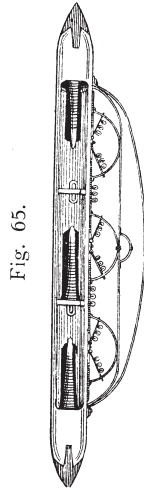


Fig. 65.

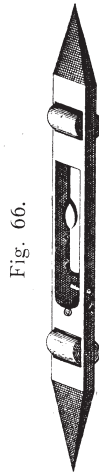


Fig. 66.



Fig. 67.

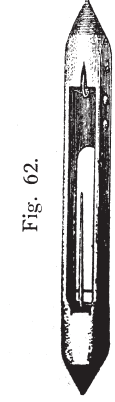


Fig. 62.

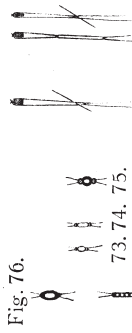


Fig. 76.



73. 74. 75.



Fig. 78. 80. 79.



Fig. 71.

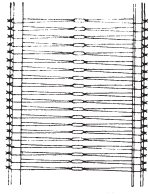


Fig. 72.

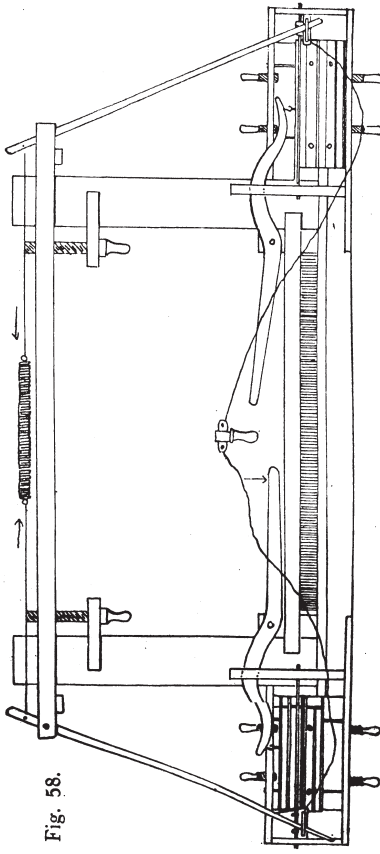


Fig. 58.

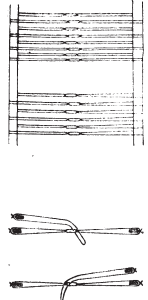


Fig. 81. 82.

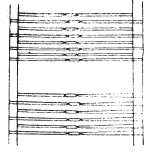


Fig. 83. Fig. 84.

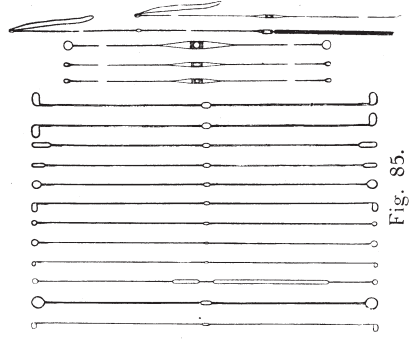


Fig. 85.

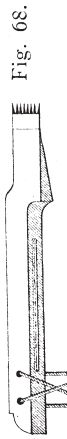


Fig. 68.



Fig. 69.

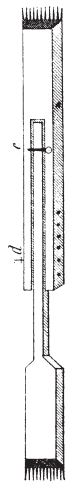


Fig. 70.

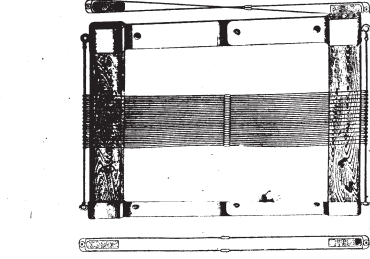


Fig. 86.

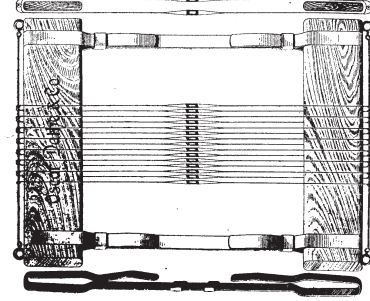


Fig. 87.

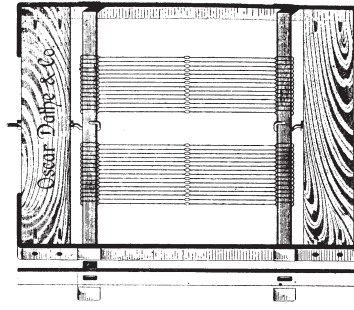


Fig. 88.

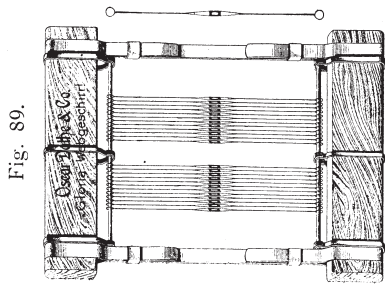


Fig. 89.

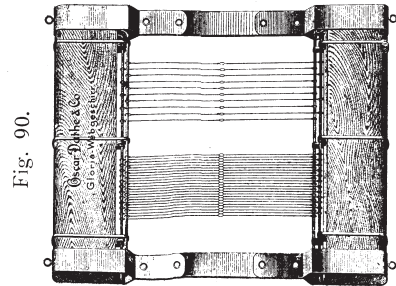


Fig. 90.

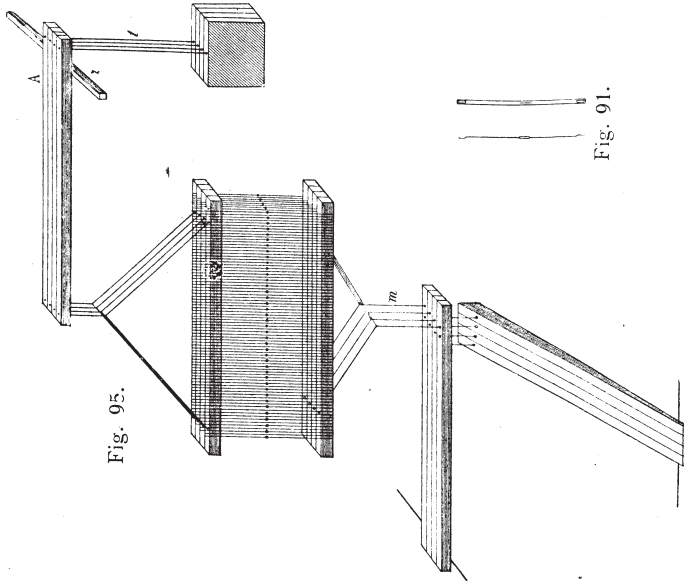


Fig. 95.

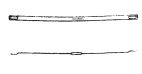


Fig. 91.

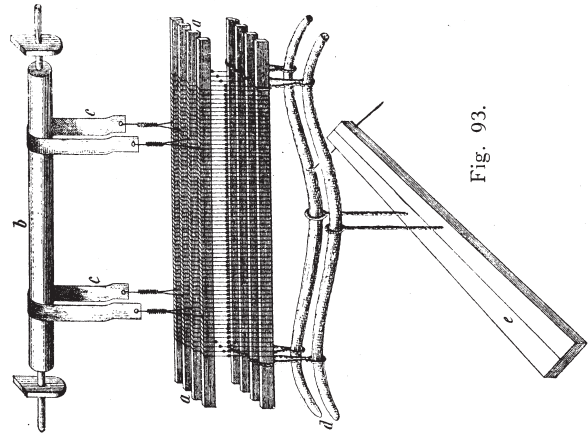


Fig. 93.

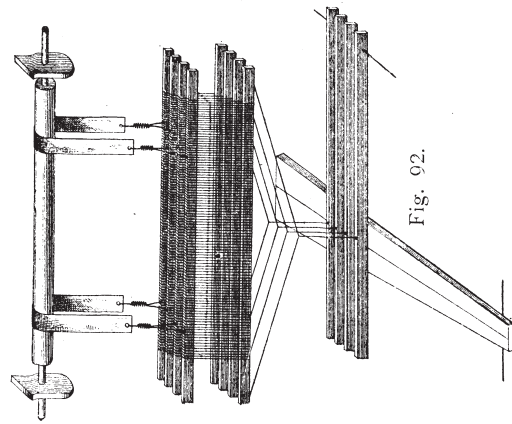


Fig. 92.

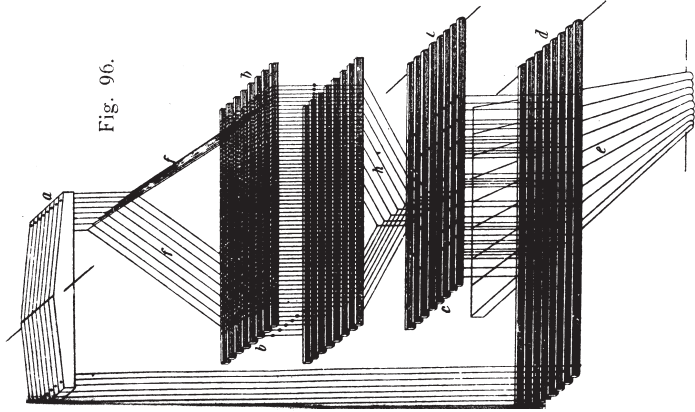


Fig. 96.

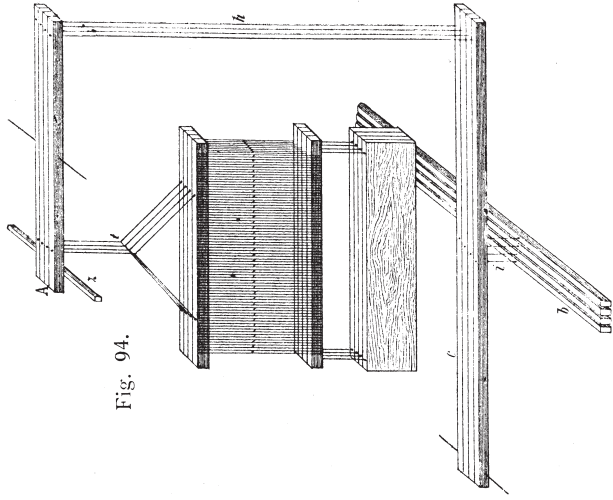


Fig. 94.

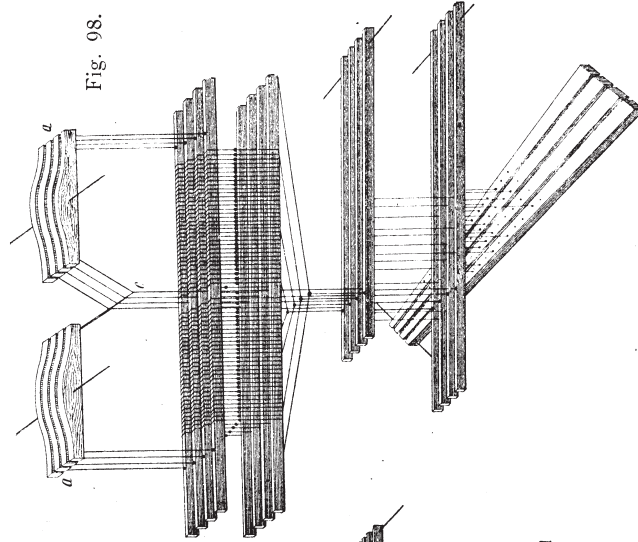


Fig. 98.

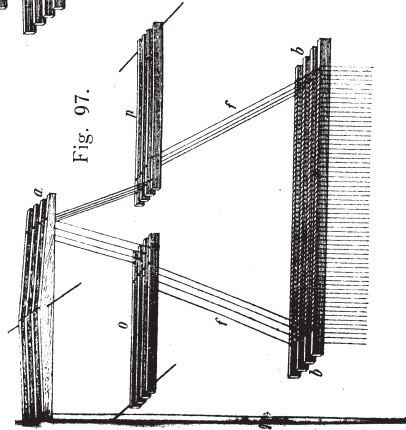


Fig. 97.

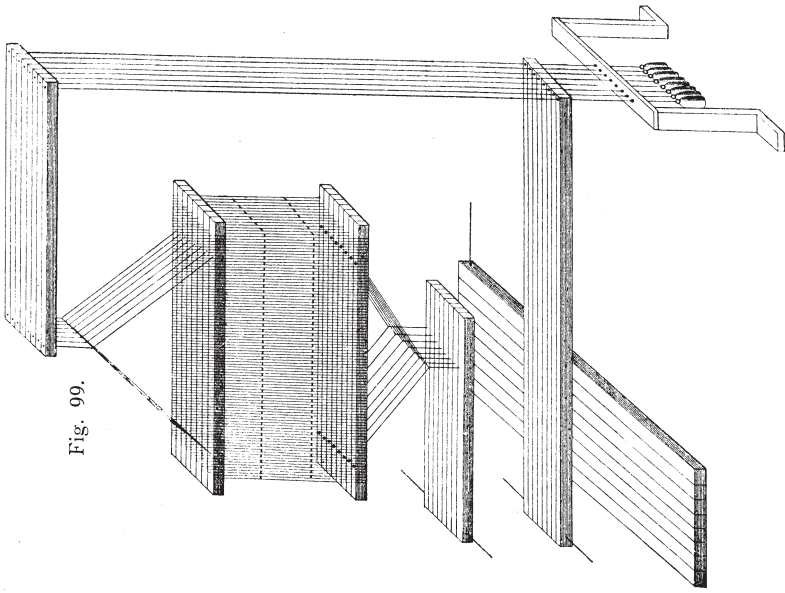


Fig. 99.

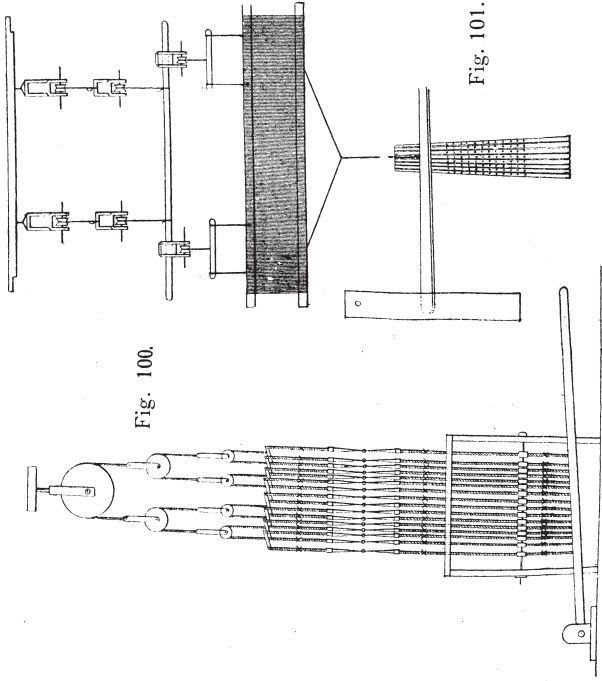


Fig. 100.

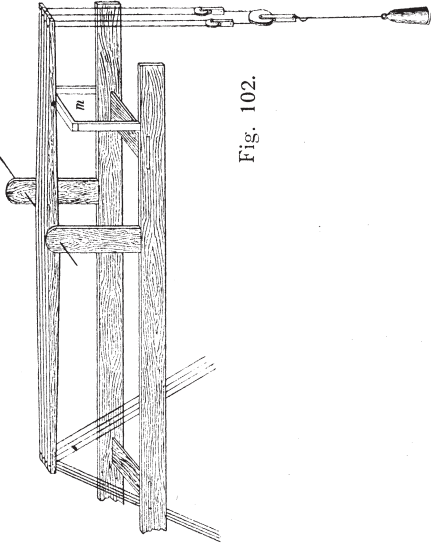


Fig. 102.

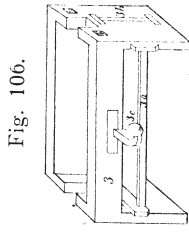


Fig. 106.

Fig. 101.

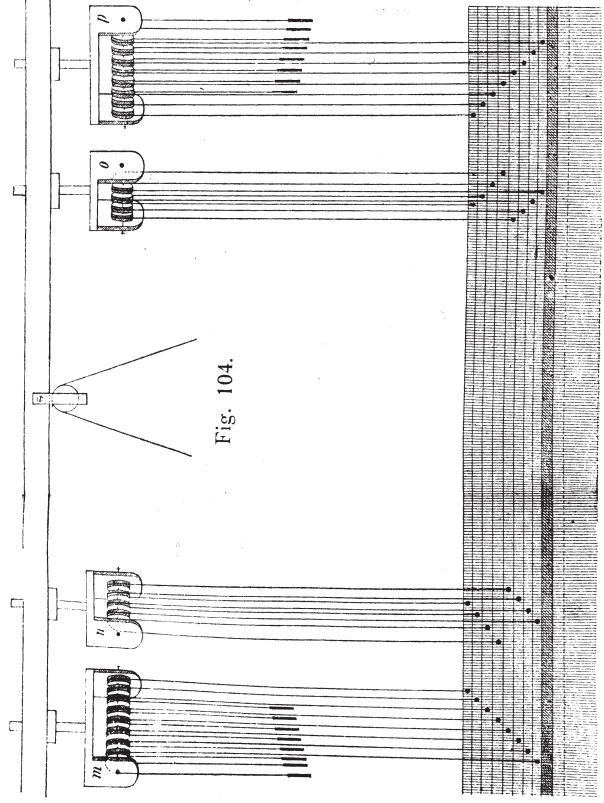


Fig. 104.

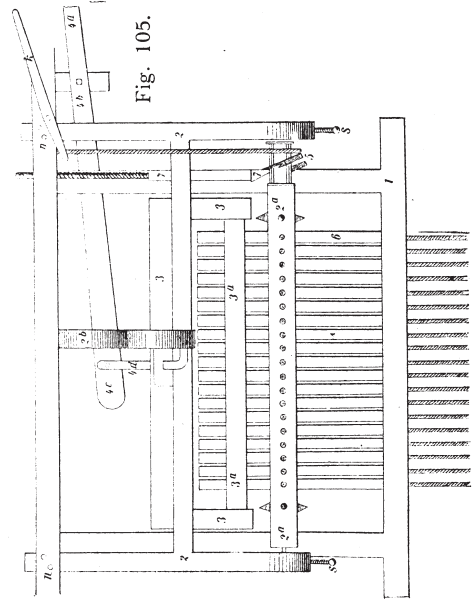


Fig. 105.

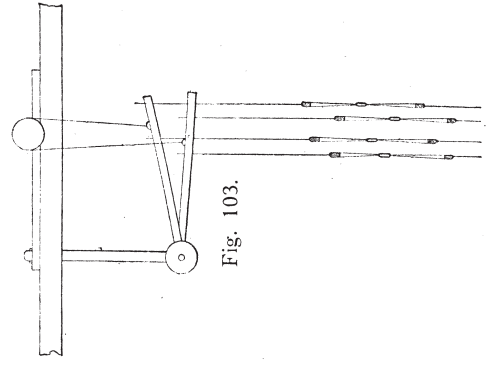


Fig. 103.

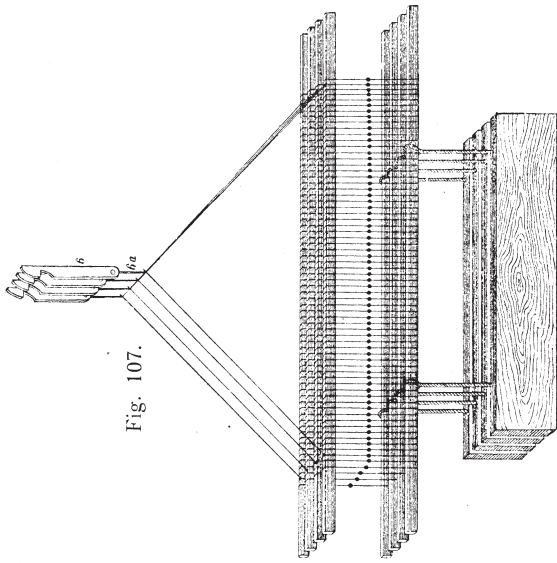


Fig. 107.

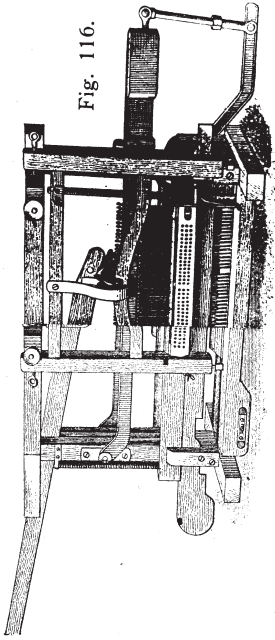


Fig. 116.

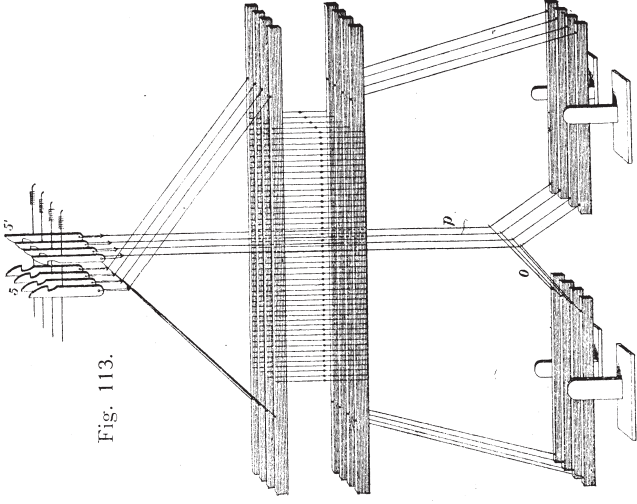


Fig. 113.

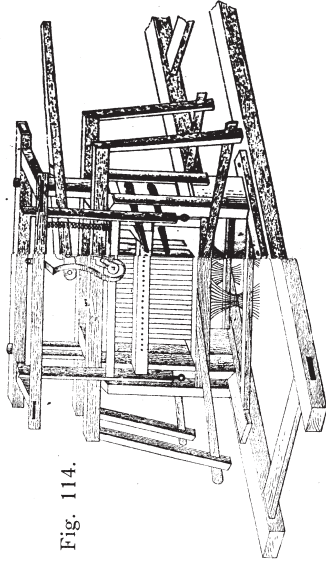


Fig. 114.



Fig. 109.

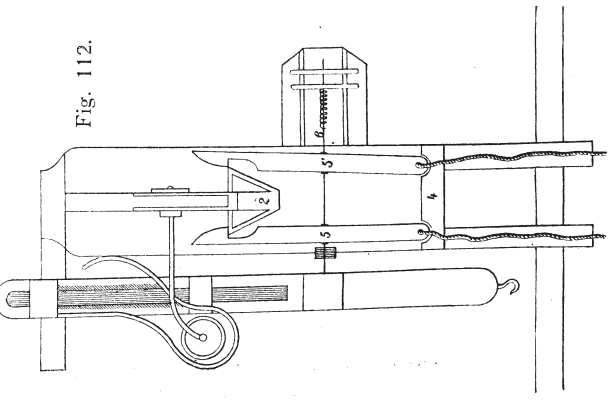


Fig. 112.

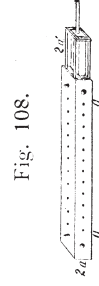


Fig. 108.

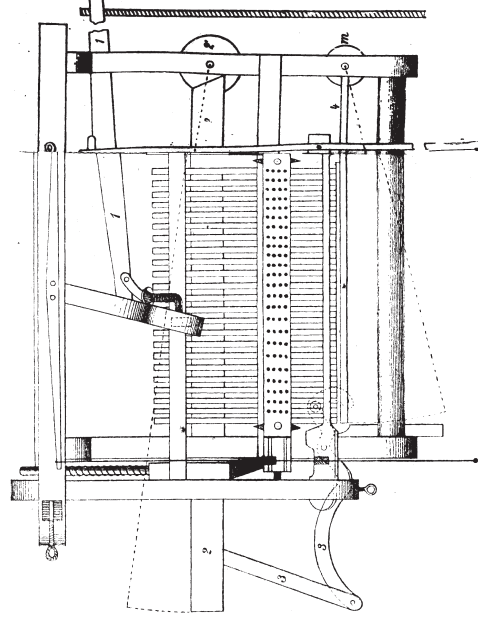


Fig. 111.

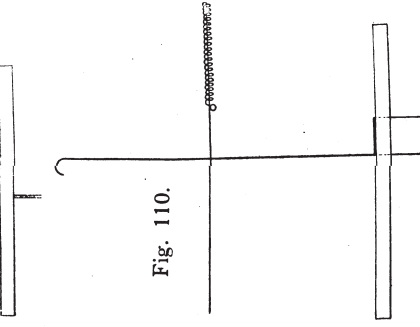


Fig. 110.

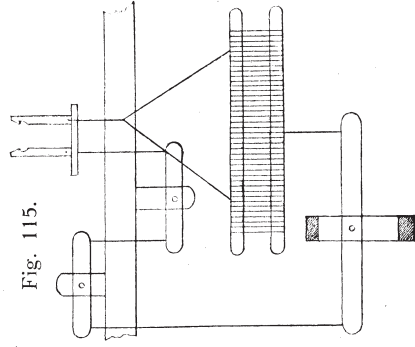


Fig. 115.

Fig. 118.

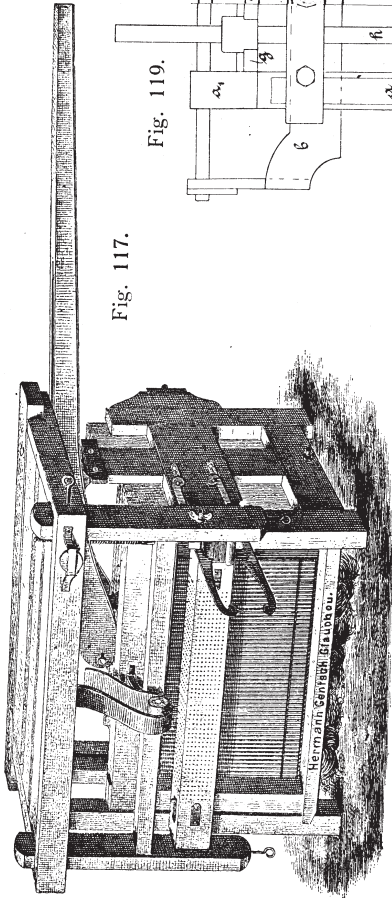
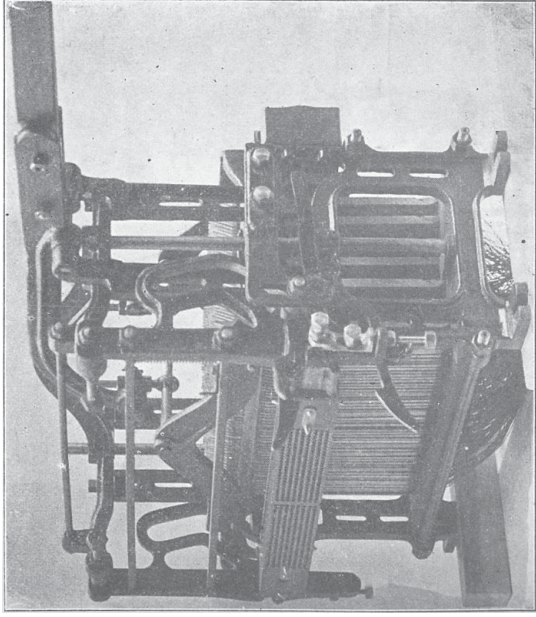


Fig. 117.

Fig. 119.

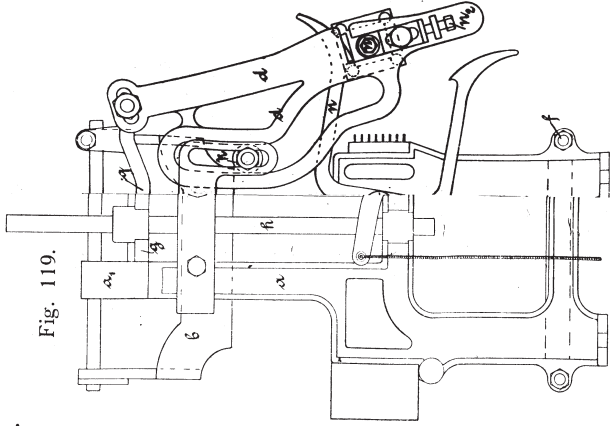


Fig. 124. Fig. 125.

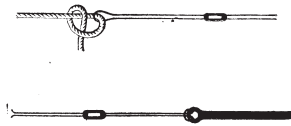


Fig. 122.

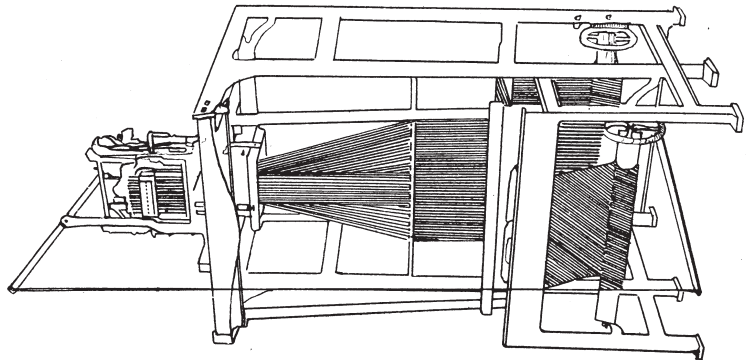


Fig. 121.

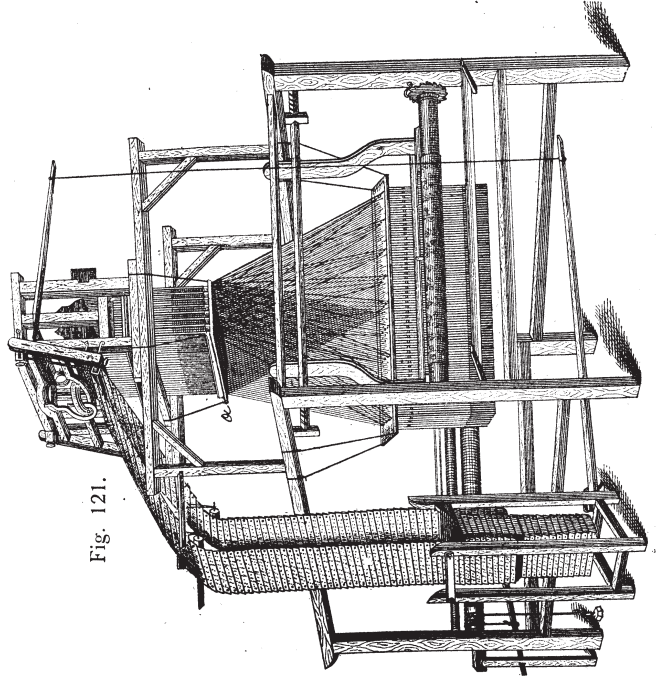


Fig. 126.

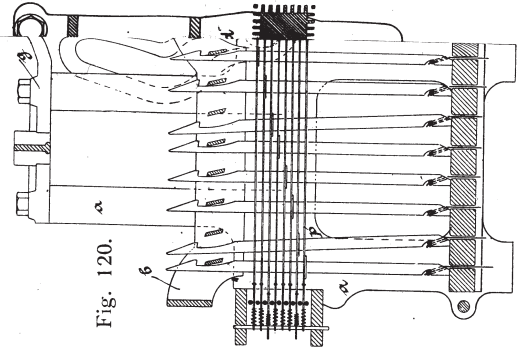
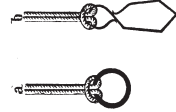
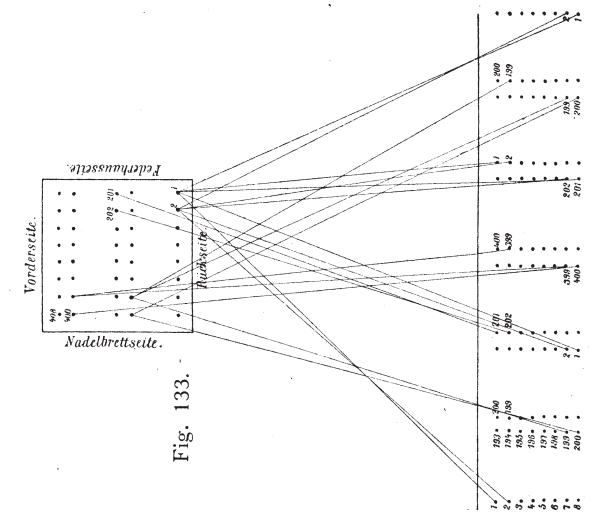
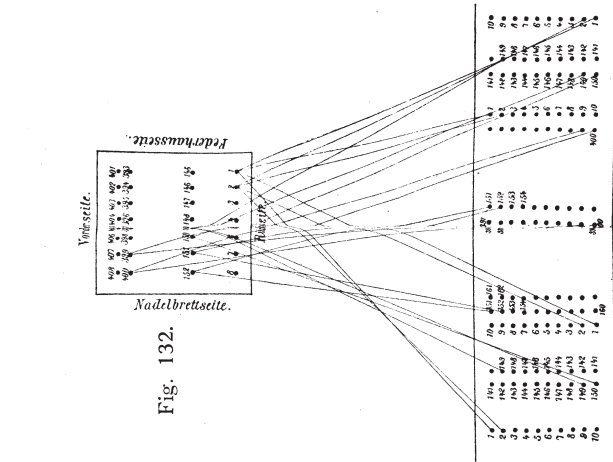
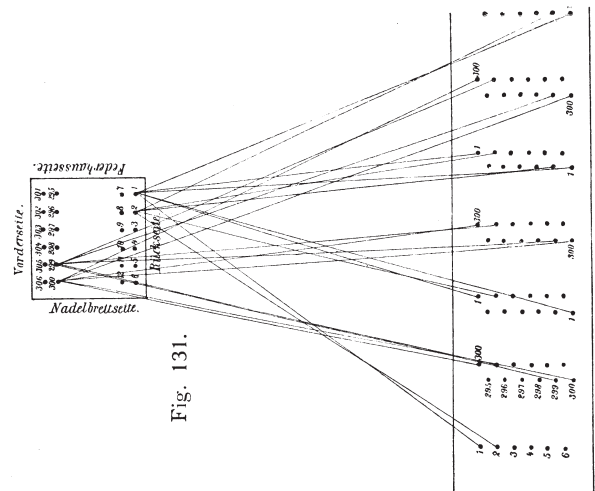
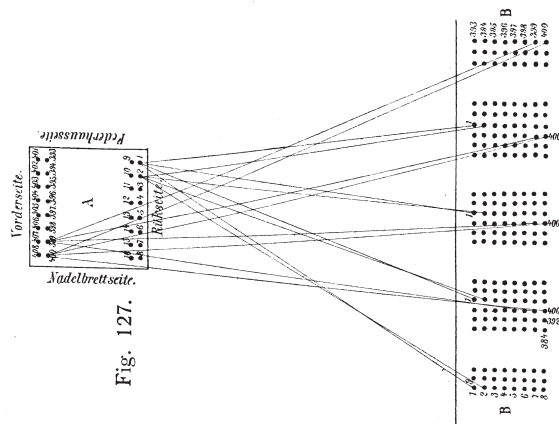
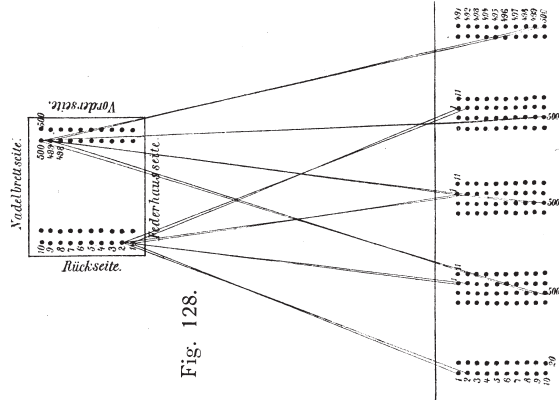
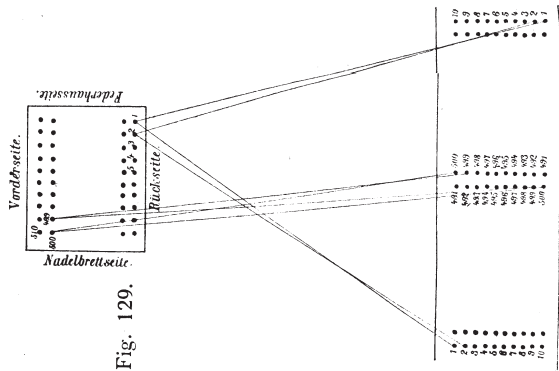
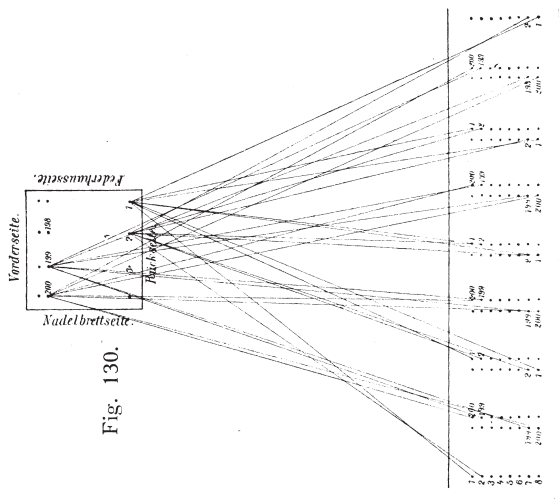


Fig. 120.

Fig. 123.





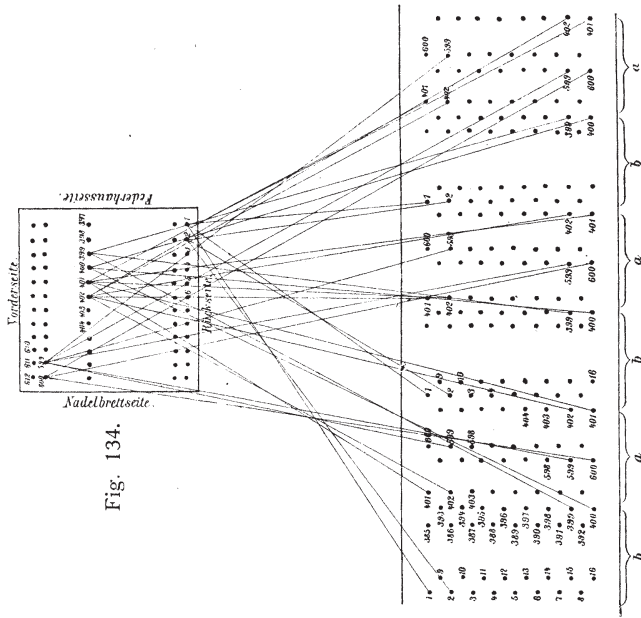


Fig. 134.

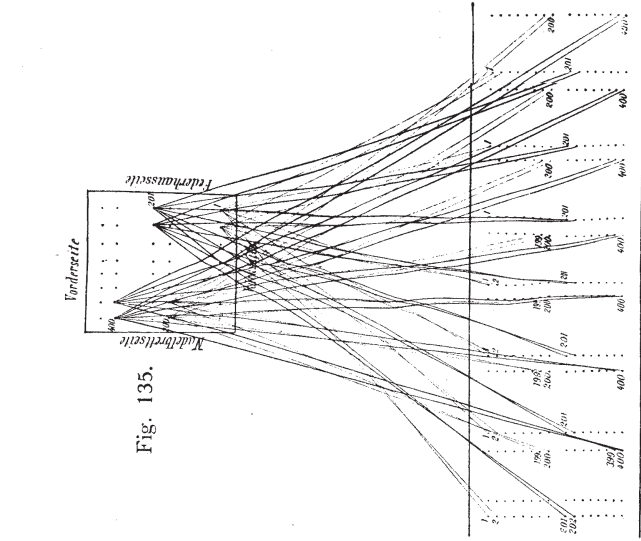


Fig. 135.

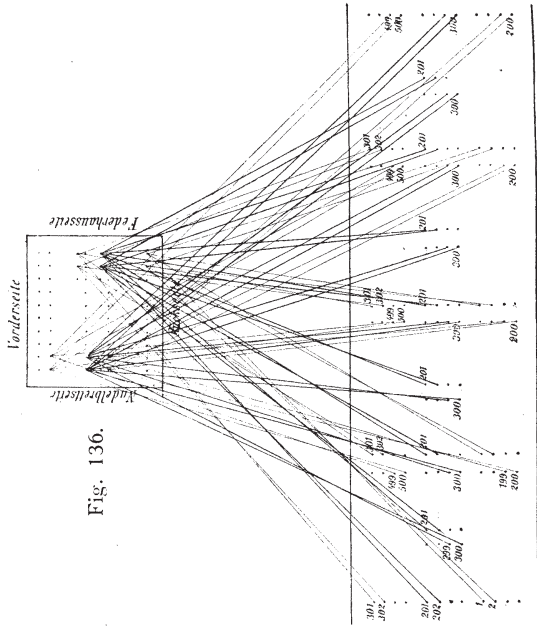


Fig. 136.

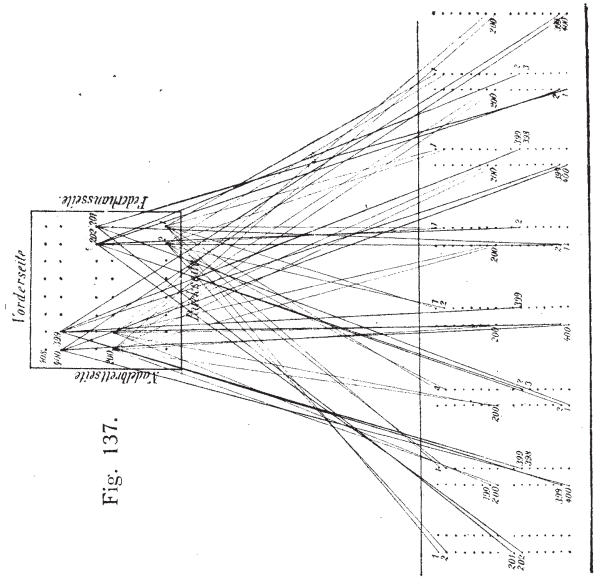


Fig. 137.

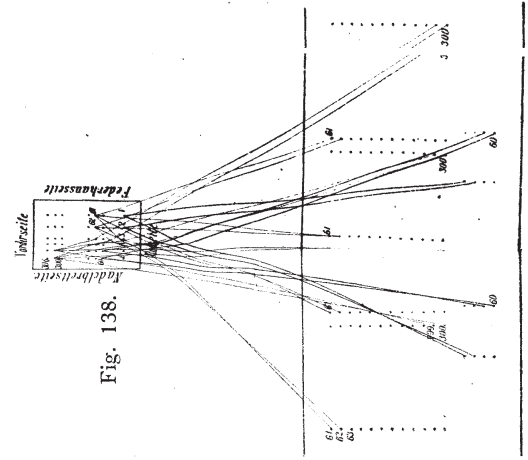


Fig. 138.

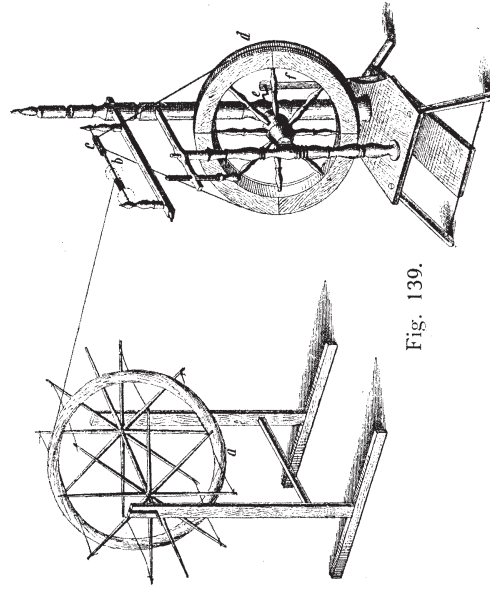


Fig. 139.

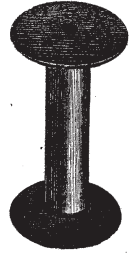


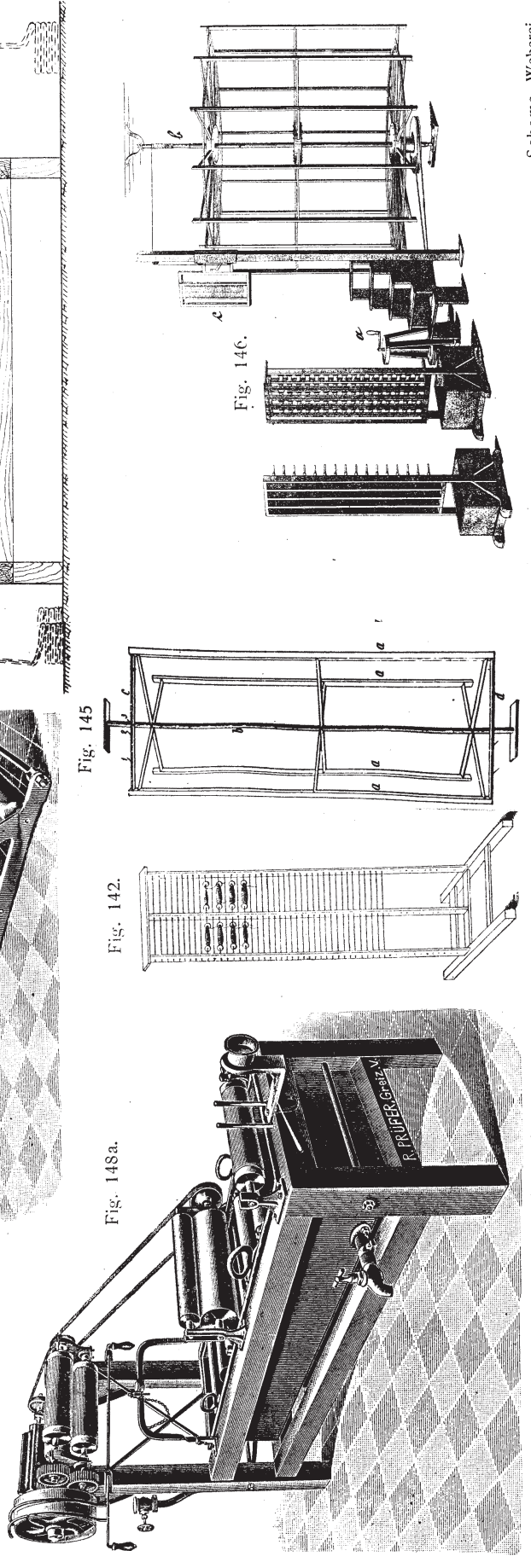
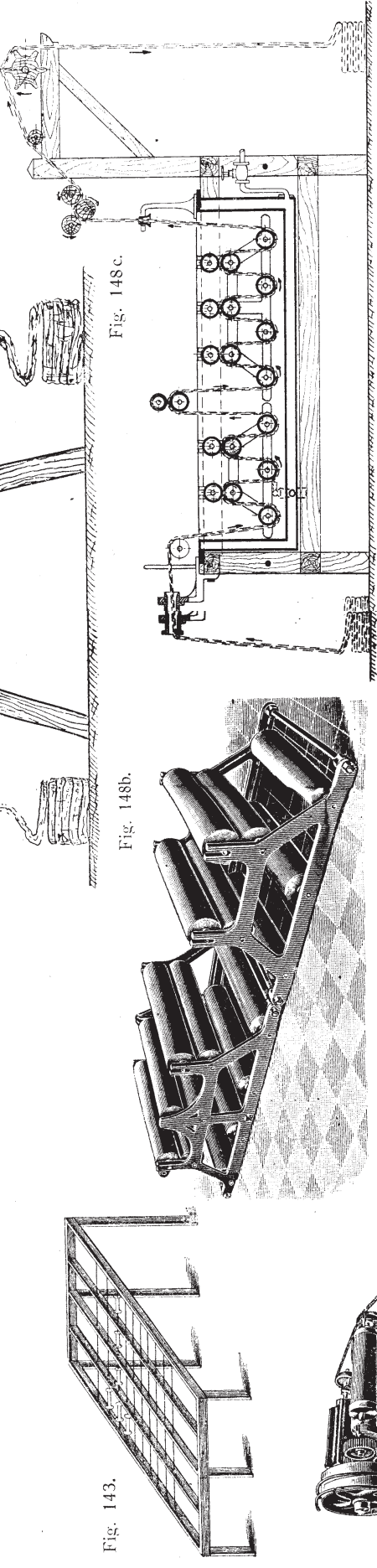
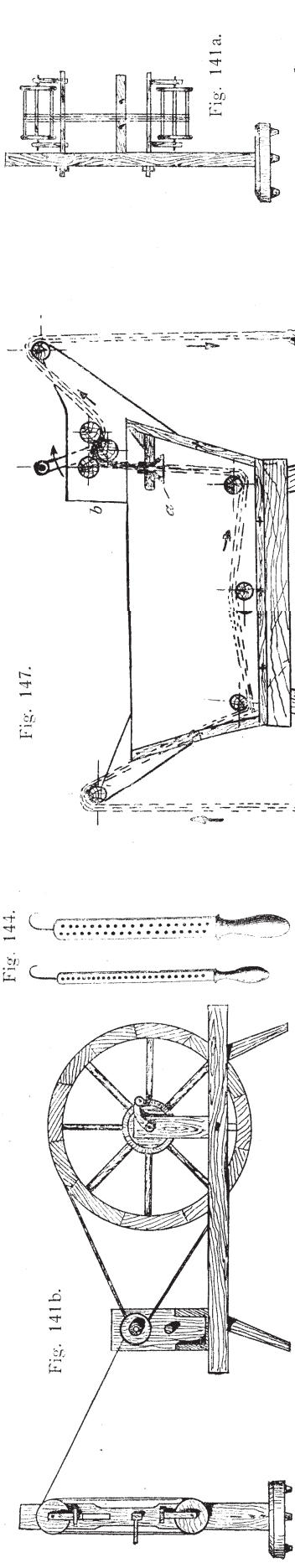
Fig. 140b.



Fig. 140a.

Schams, Weberei.

Tafel 13.
Fig. 141a—148c.



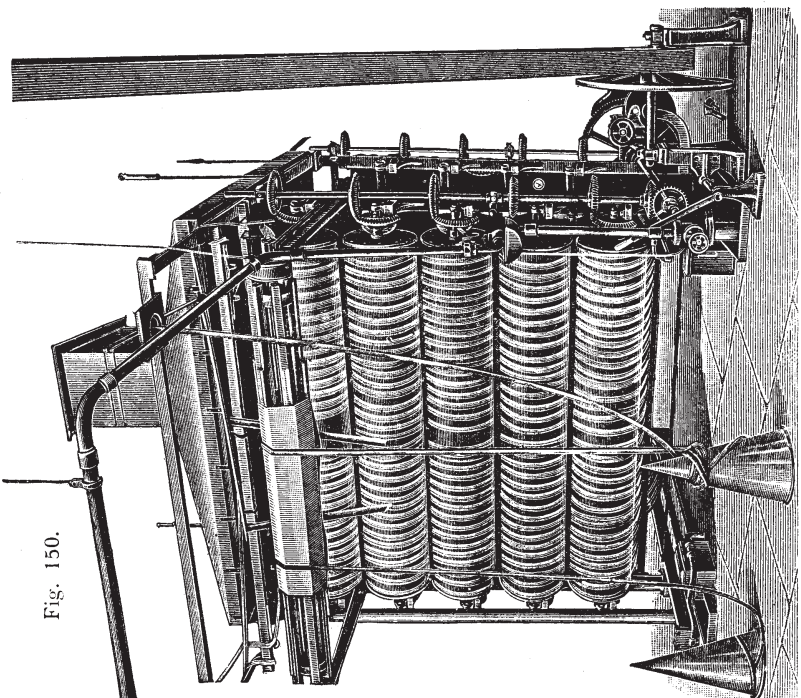


Fig. 150.

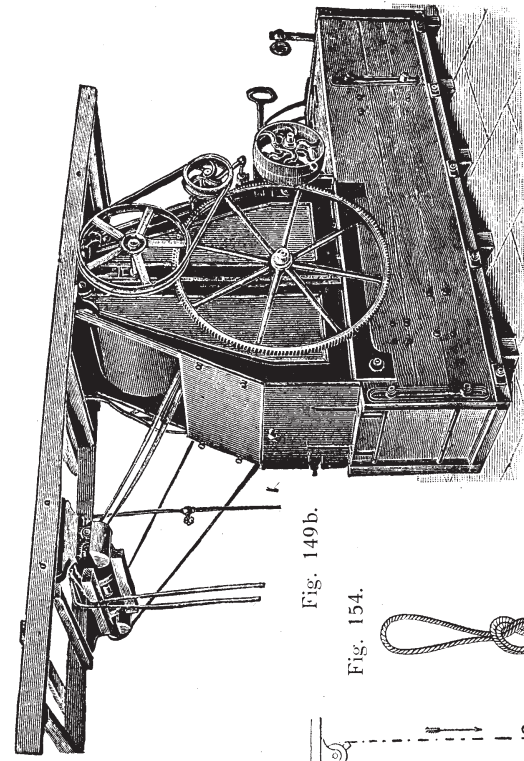


Fig. 149b.

Fig. 151.



Fig. 149a.

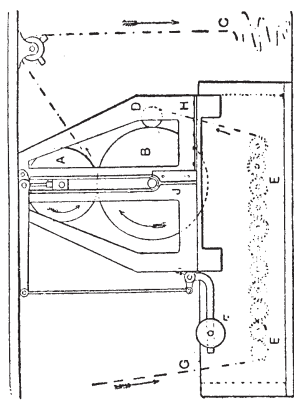


Fig. 154.

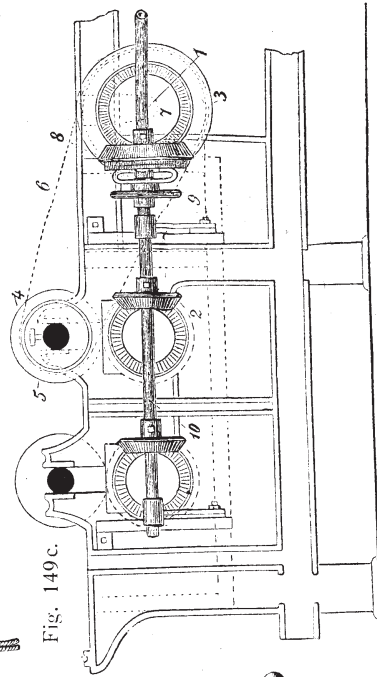


Fig. 149c.

Fig. 152a.



Fig. 152b.



Fig. 152c.



Fig. 155.

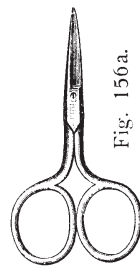


Fig. 150a.

Fig. 153a.



Fig. 153b.

Fig. 157.

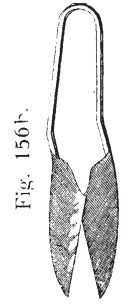


Fig. 156b.

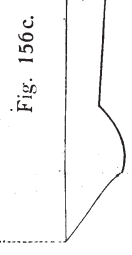


Fig. 156c.

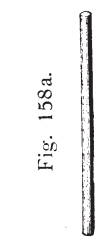


Fig. 158a.



Fig. 158b.



Fig. 158c.

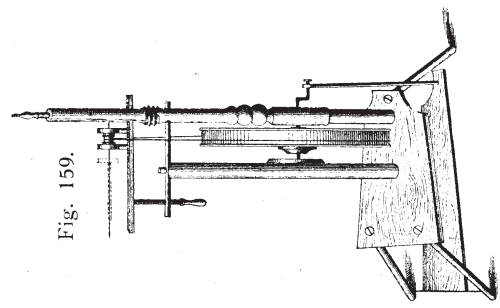


Fig. 159.

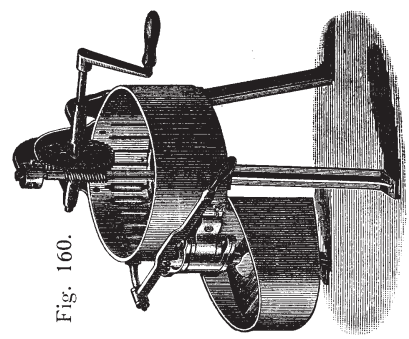


Fig. 160.

Tafel 15.
Fig. 161—195.

Fig. 181.

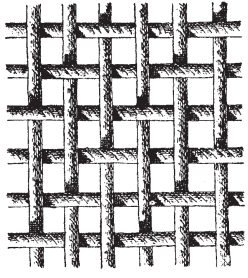


Fig. 166.

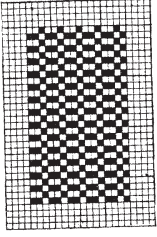


Fig. 165.

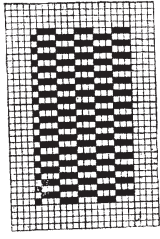


Fig. 164.

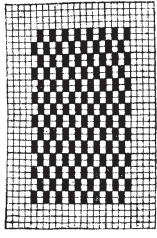


Fig. 163.

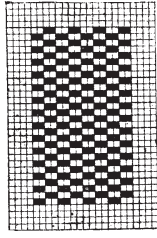


Fig. 162.

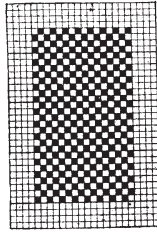


Fig. 161.

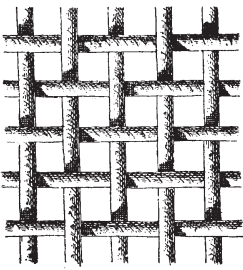


Fig. 173.

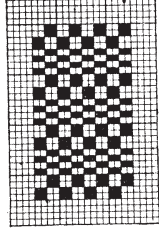


Fig. 172.

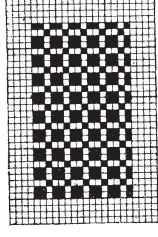


Fig. 171.

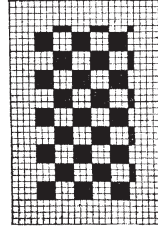


Fig. 170.

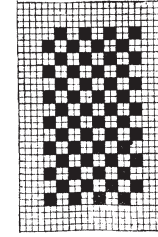


Fig. 169.

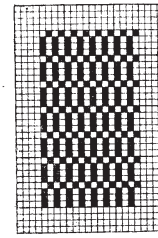


Fig. 168.

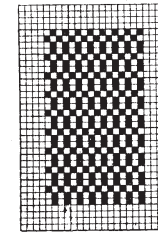


Fig. 167.

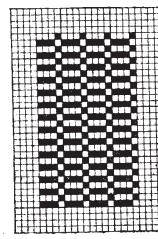


Fig. 183.

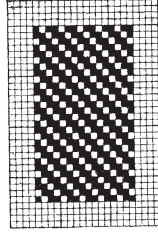


Fig. 182.

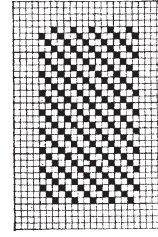


Fig. 178.

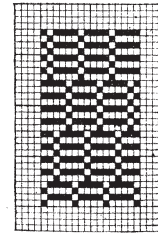


Fig. 177.

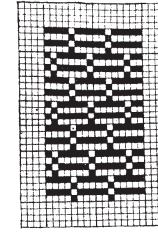


Fig. 176.

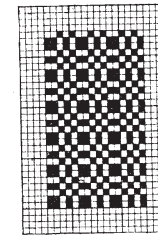


Fig. 175.

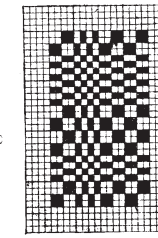


Fig. 174.

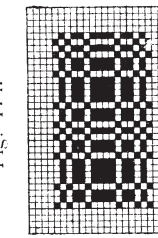


Fig. 190.

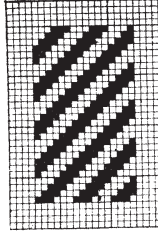


Fig. 189.

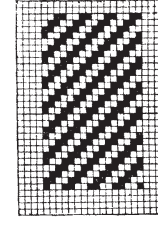


Fig. 188.

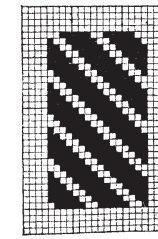


Fig. 187.

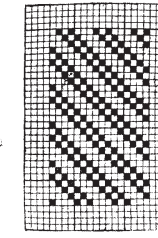


Fig. 186.

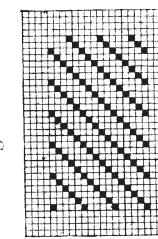


Fig. 185.



Fig. 184.

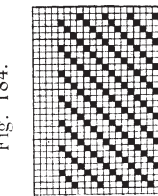


Fig. 180.

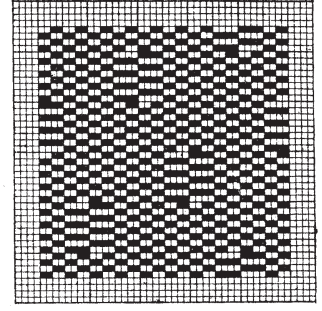


Fig. 195.

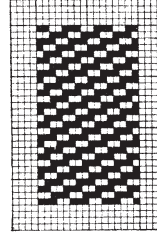


Fig. 194.

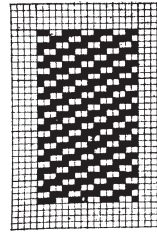


Fig. 193.

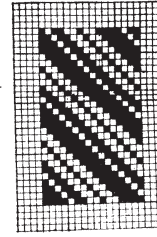


Fig. 192.

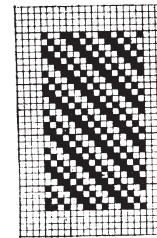


Fig. 191.

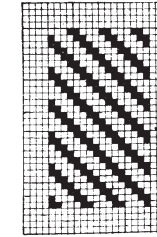


Fig. 179.

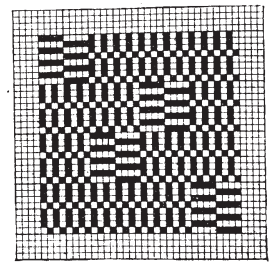


Fig. 196.

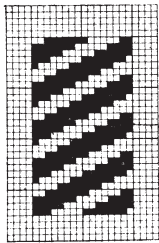


Fig. 197.

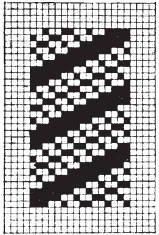


Fig. 198.

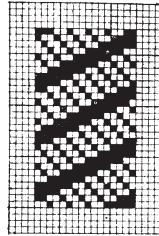


Fig. 199.

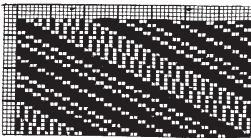


Fig. 200.

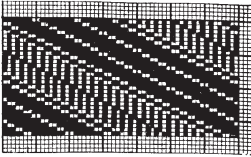


Fig. 201.

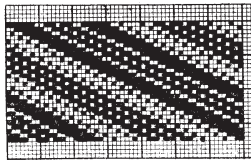


Fig. 202.



Fig. 203.

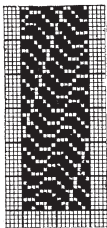


Fig. 205.

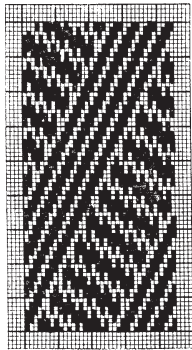


Fig. 208.

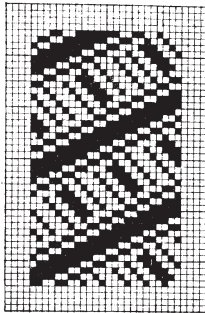


Fig. 204.

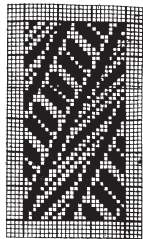


Fig. 206.

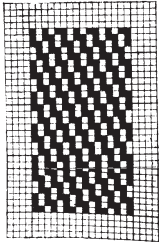


Fig. 207.

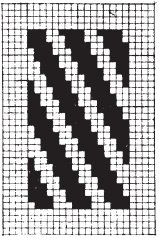


Fig. 212.

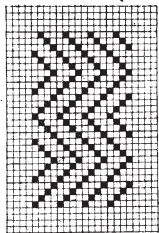


Fig. 209.

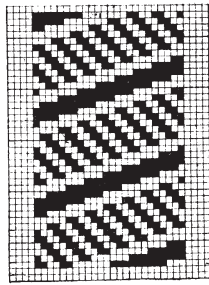


Fig. 210.

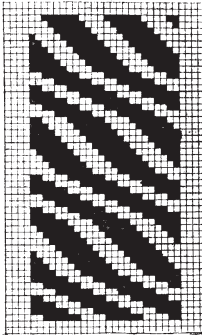


Fig. 211.

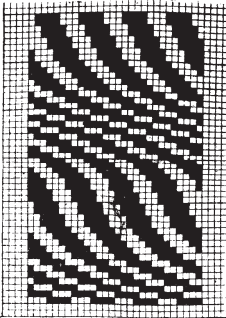


Fig. 218.

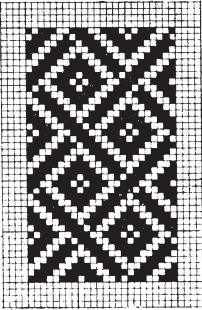


Fig. 219.

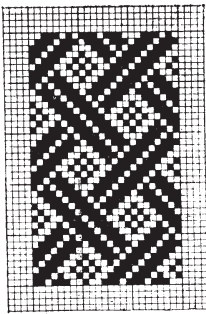


Fig. 213.

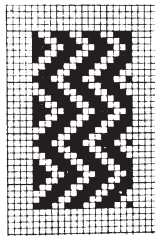


Fig. 214.

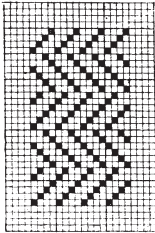


Fig. 215.

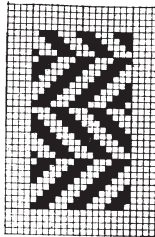


Fig. 216.

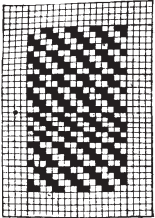


Fig. 217.

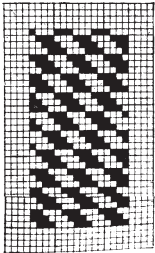


Fig. 220.

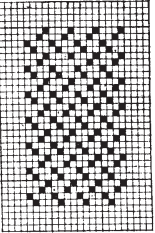


Fig. 221.

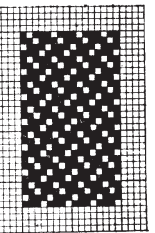


Fig. 222.

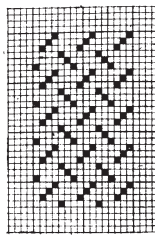


Fig. 223.

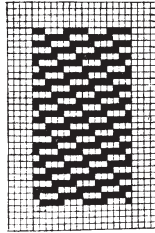


Fig. 224.

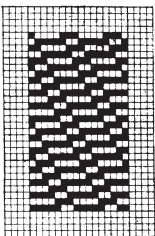


Fig. 225.

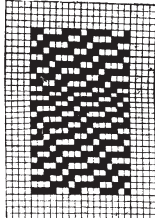


Fig. 226.

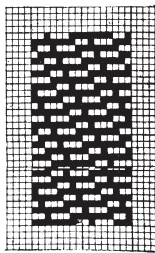


Fig. 227.

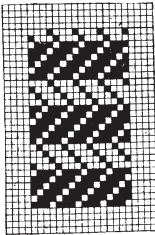
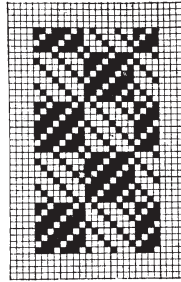


Fig. 228.



Tafel 17.
Fig. 229—251.

Fig. 229.

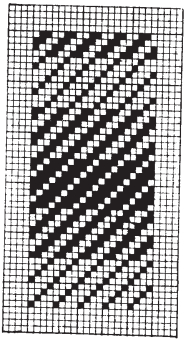


Fig. 230.

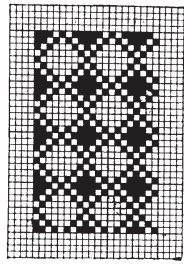


Fig. 31.

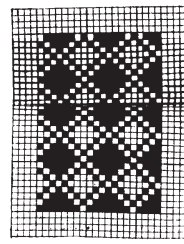


Fig. 232.

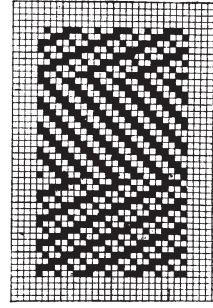


Fig. 233.

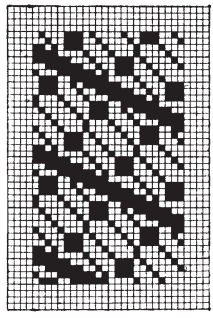


Fig. 234.

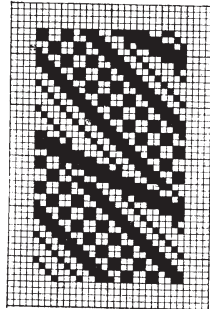


Fig. 235.

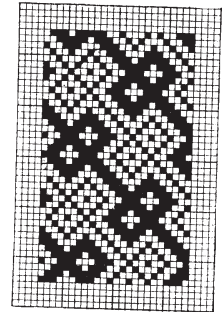


Fig. 236.

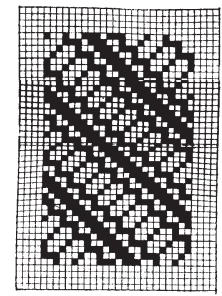


Fig. 237.

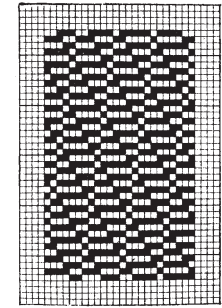


Fig. 238.

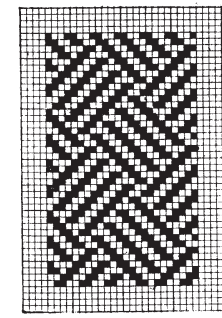


Fig. 239.

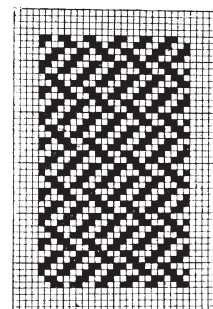


Fig. 240.

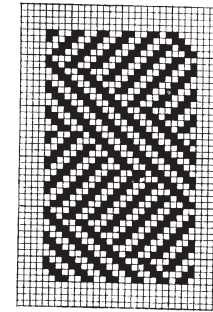


Fig. 241.

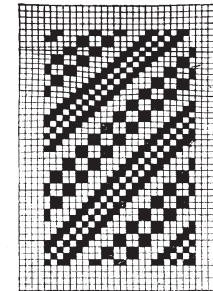


Fig. 242.

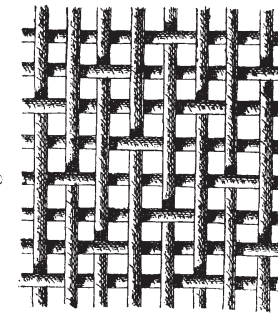


Fig. 243.

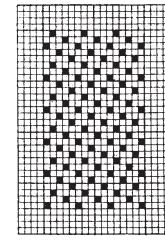


Fig. 244.

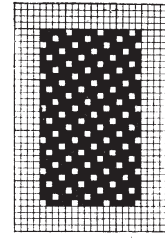


Fig. 245.

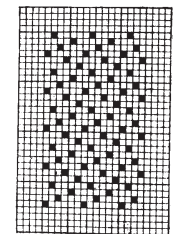


Fig. 246.

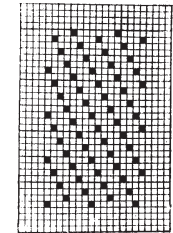


Fig. 247.

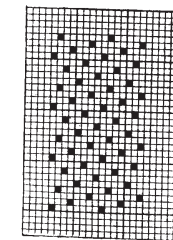


Fig. 248.

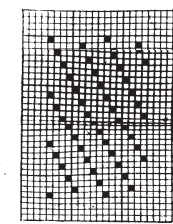


Fig. 249.

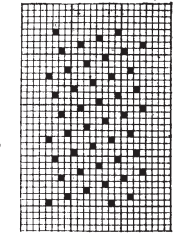


Fig. 250.

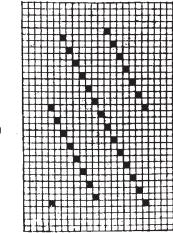


Fig. 251.

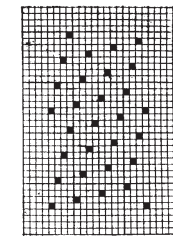


Fig. 252.

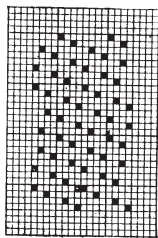


Fig. 253.

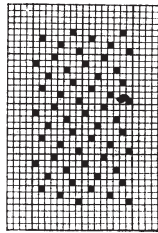


Fig. 254.

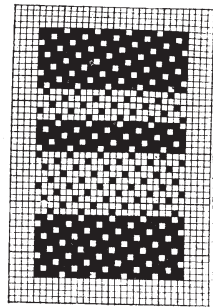


Fig. 255.

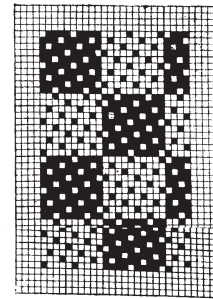


Fig. 256.

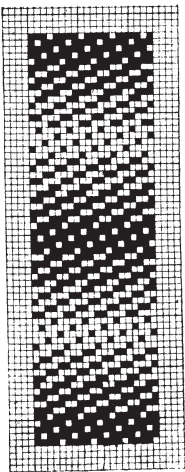


Fig. 257.

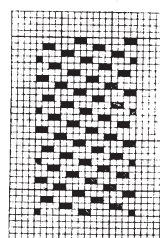


Fig. 258.

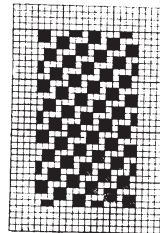


Fig. 259.

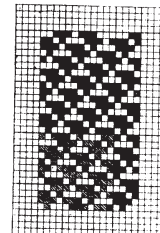


Fig. 260.

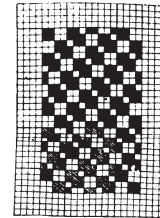


Fig. 261.

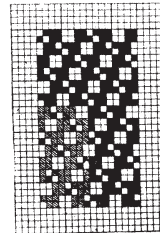


Fig. 263.

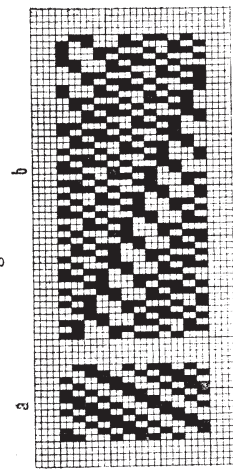


Fig. 262.

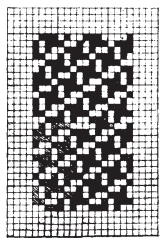


Fig. 264—265.

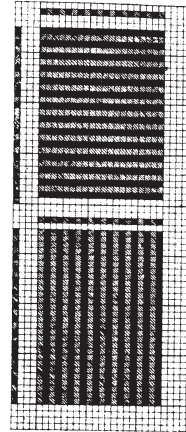


Fig. 366—267.

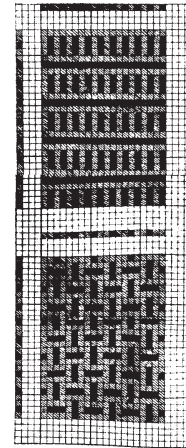


Fig. 268.

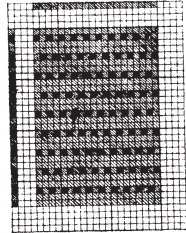


Fig. 269.

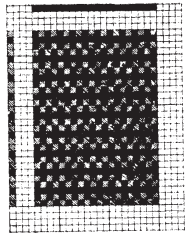


Fig. 270.

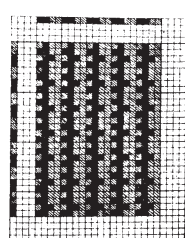


Fig. 271.

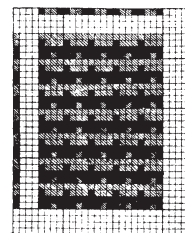


Fig. 272.

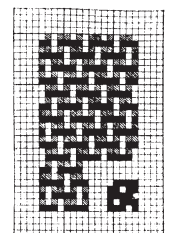


Fig. 273.

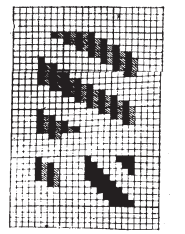


Fig. 274.

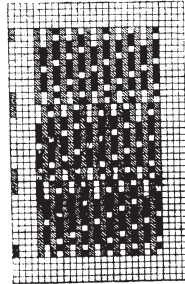


Fig. 275.

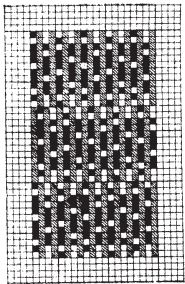


Fig. 276.

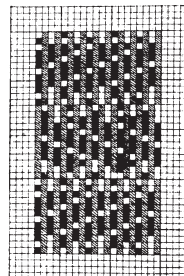


Fig. 277.

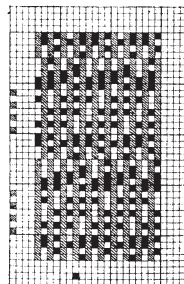


Fig. 278.

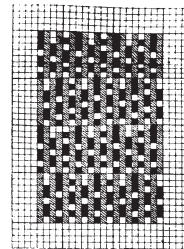


Fig. 279—280.

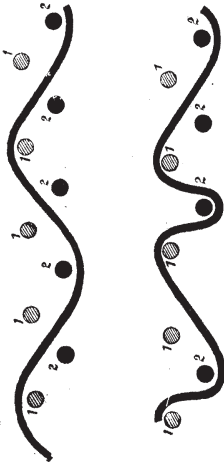
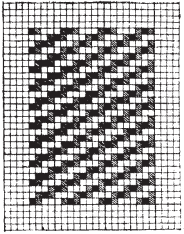


Fig. 281.



Tafel 19.

Fig. 282—296b.

Fig. 286c.

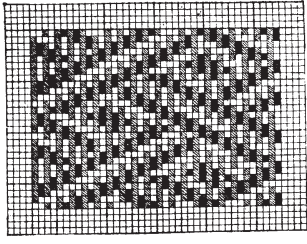


Fig. 286b.

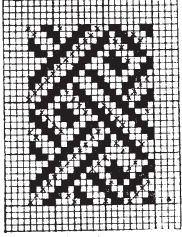


Fig. 286a.

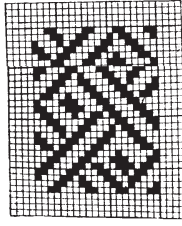


Fig. 285.

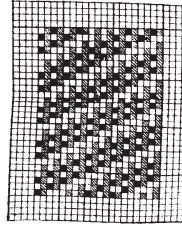


Fig. 284.

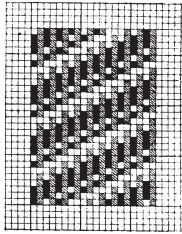


Fig. 283.

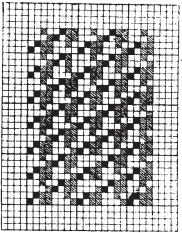


Fig. 282.

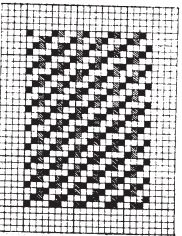


Fig. 291.

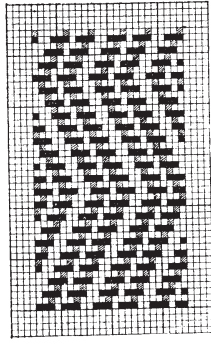


Fig. 290.

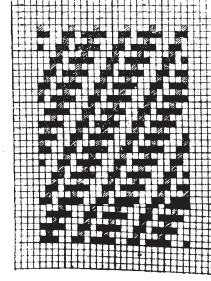


Fig. 289.

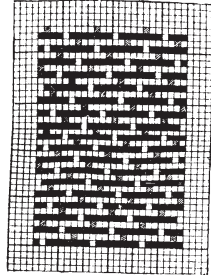


Fig. 288.

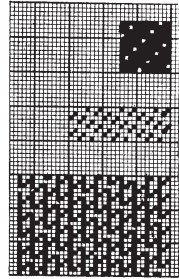


Fig. 287.

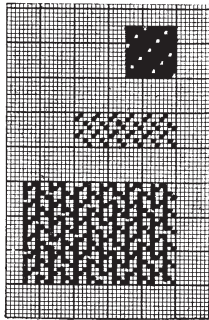


Fig. 293b.

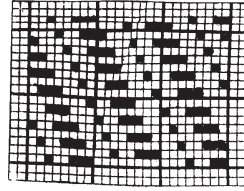


Fig. 294a.

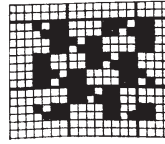


Fig. 294b.

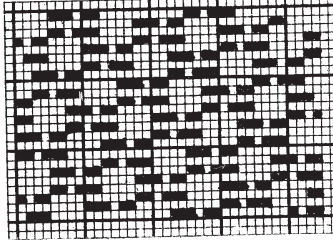


Fig. 292a.

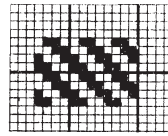


Fig. 292b.

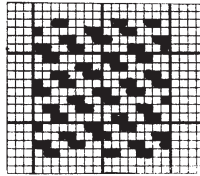


Fig. 293a.

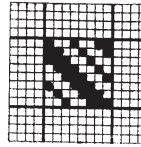


Fig. 295a.

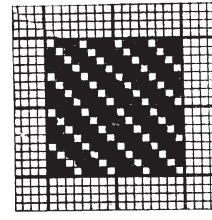


Fig. 295d.

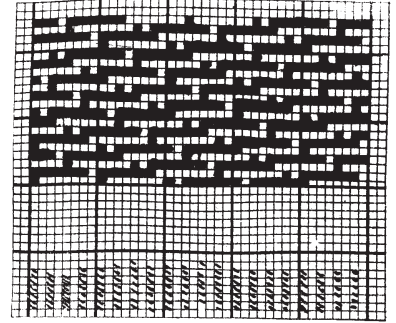


Fig. 295c.

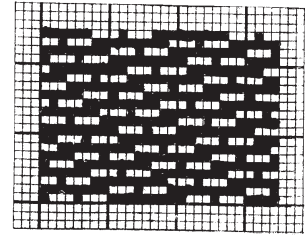


Fig. 295b.

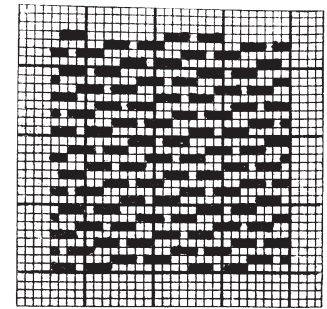


Fig. 296b.

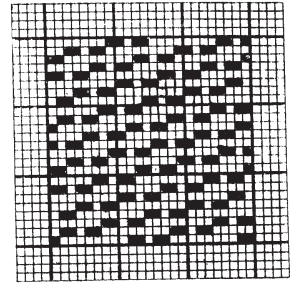


Fig. 296a.

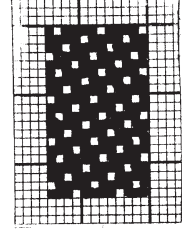


Fig. 296c.

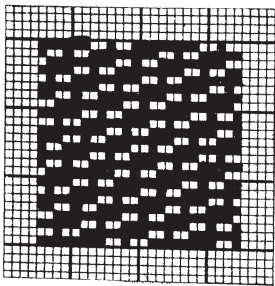


Fig. 296d.

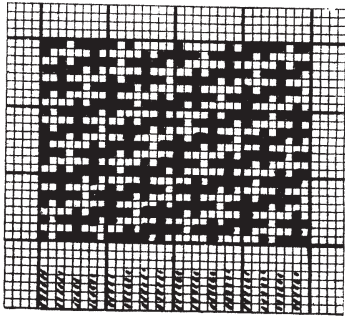


Fig. 297a.

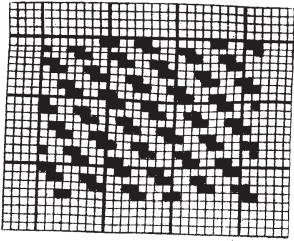


Fig. 297b.

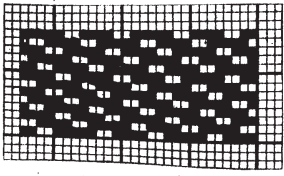


Fig. 297c.

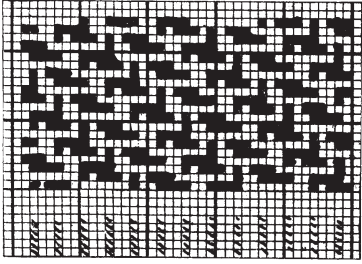


Fig. 298a.

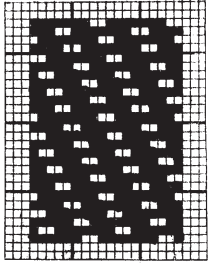


Fig. 298b.

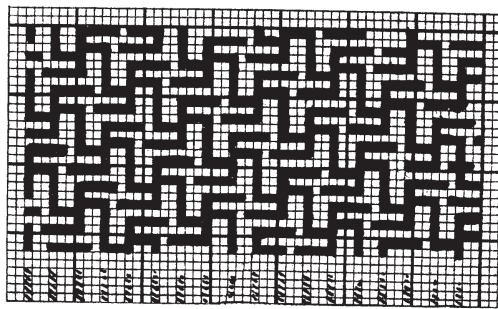


Fig. 299.

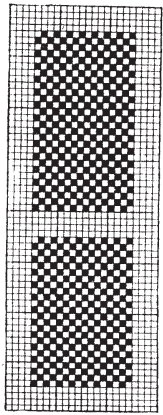


Fig. 301.

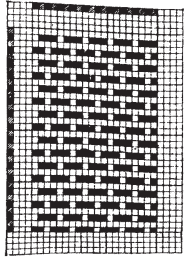


Fig. 302.

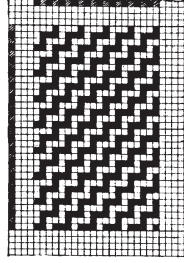


Fig. 303.

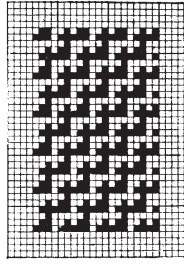


Fig. 300.

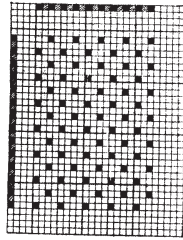


Fig. 304.

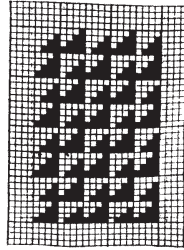


Fig. 305.

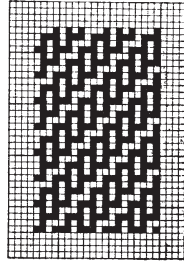


Fig. 306.

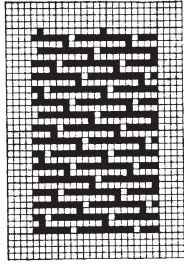


Fig. 307.

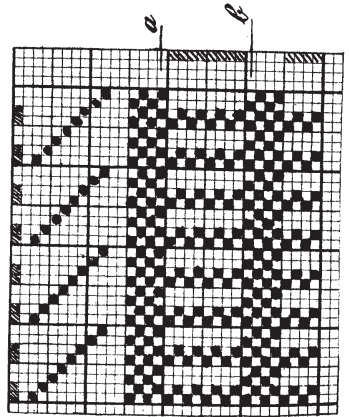


Fig. 308.

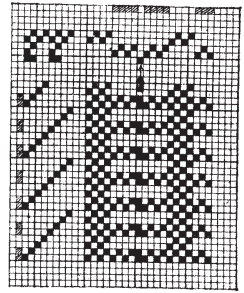


Fig. 309.

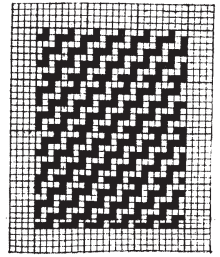


Fig. 310.

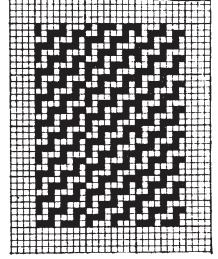
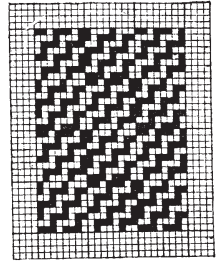
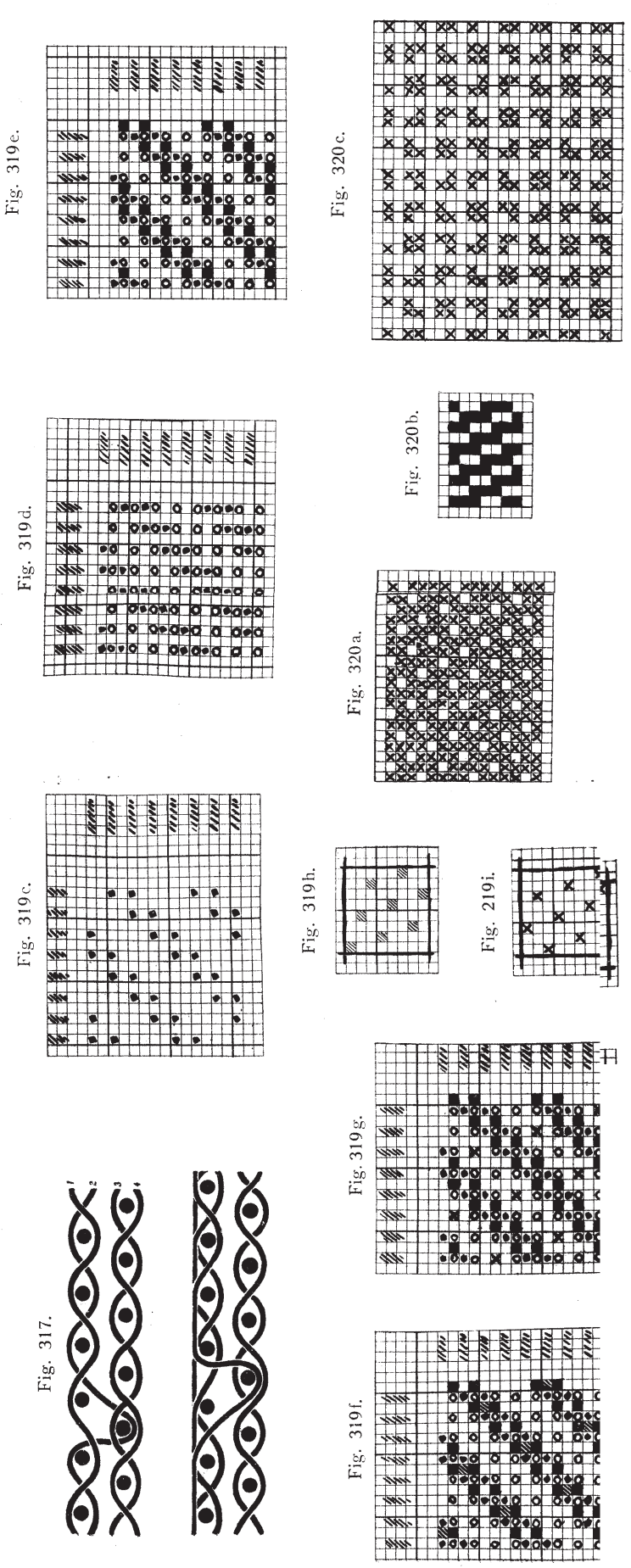
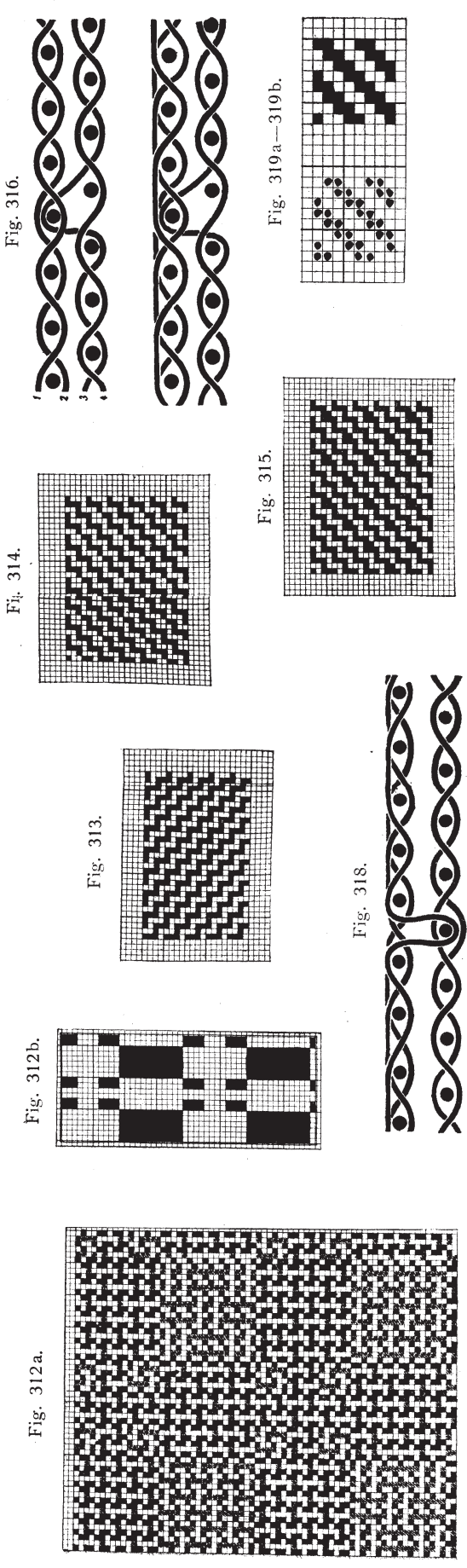


Fig. 311.



Tafel 21.
Fig. 312a—320c.



Tafel 22.

Fig. 321—334.

Fig. 321.

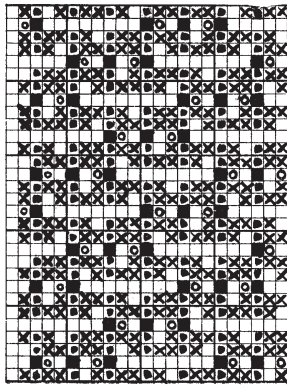


Fig. 322.

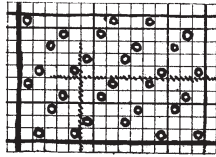


Fig. 324.

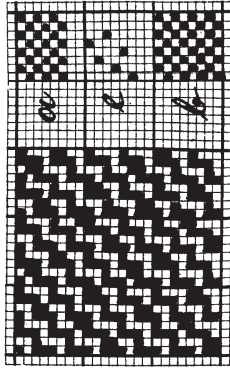


Fig. 325.

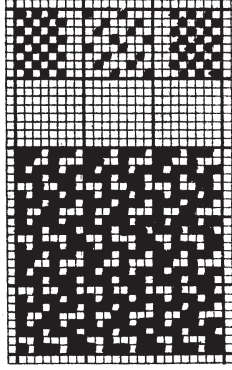


Fig. 326.

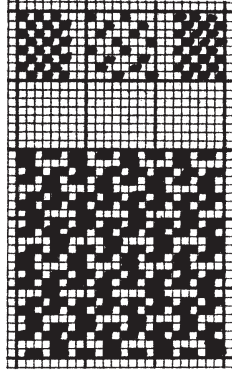


Fig. 323.

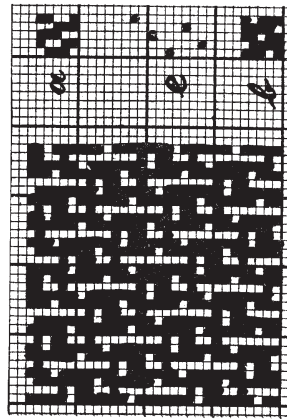


Fig. 327.

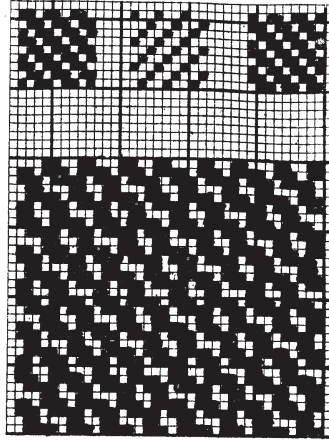


Fig. 328.

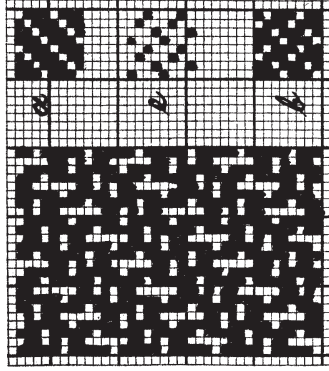


Fig. 330.

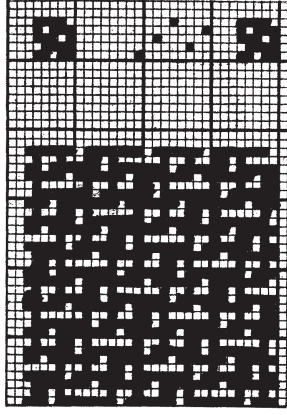


Fig. 329.

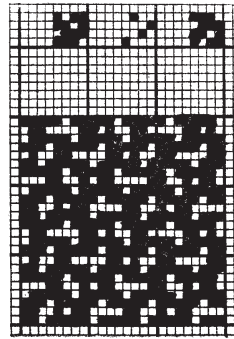


Fig. 331.

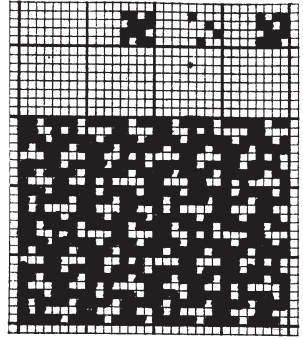


Fig. 332.

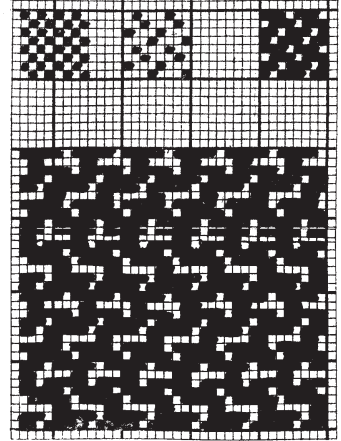


Fig. 333.

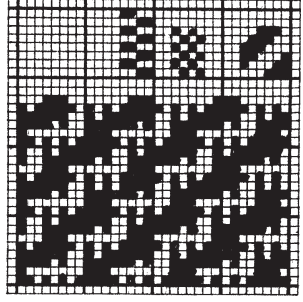


Fig. 334.

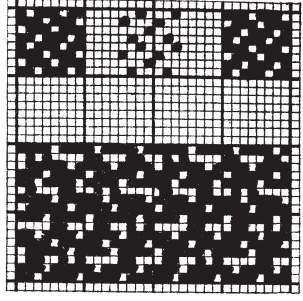


Fig. 335.

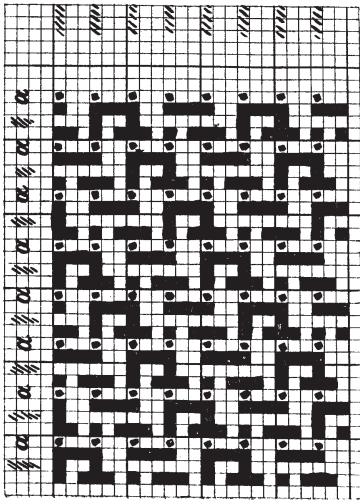


Fig. 336.

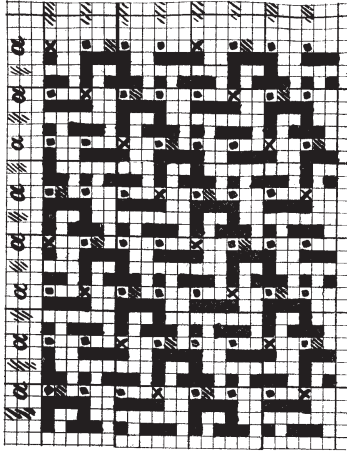


Fig. 337.

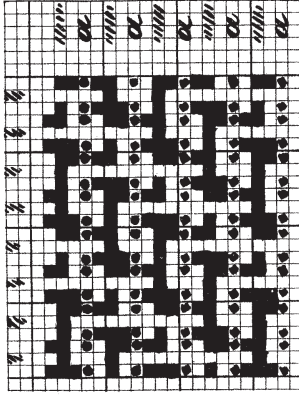


Fig. 338.

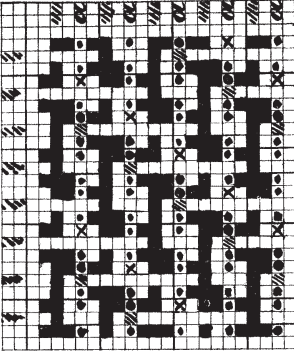


Fig. 339.

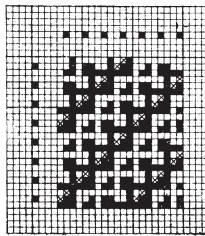


Fig. 340a.

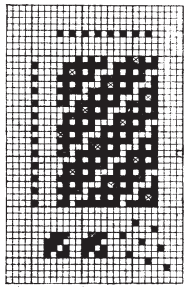


Fig. 340b.

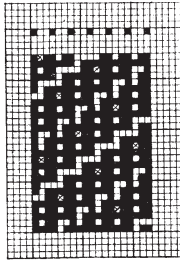


Fig. 341.

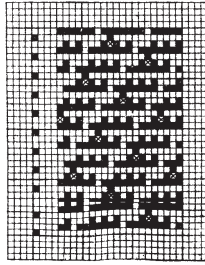


Fig. 342.

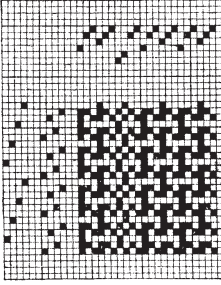


Fig. 343.

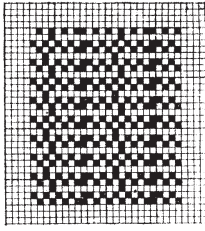


Fig. 344.

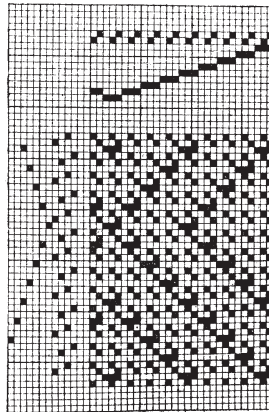


Fig. 345.

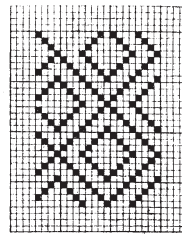


Fig. 346a.

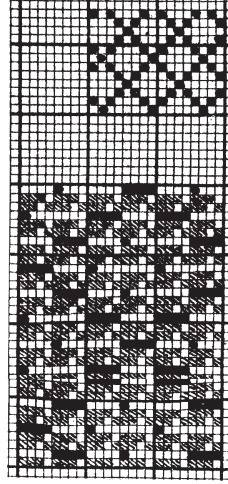


Fig. 347.

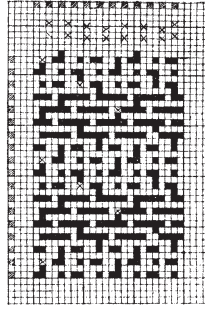


Fig. 348.

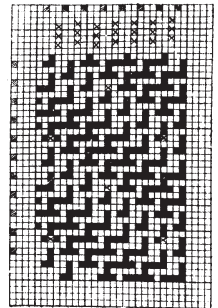


Fig. 346a.

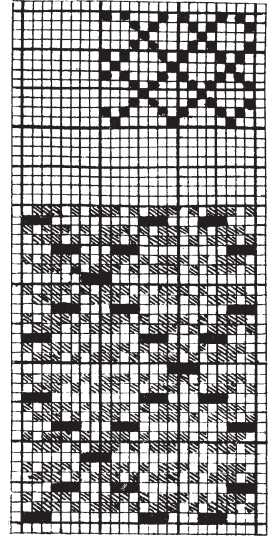


Fig. 349.



Fig. 350.



Fig. 351.

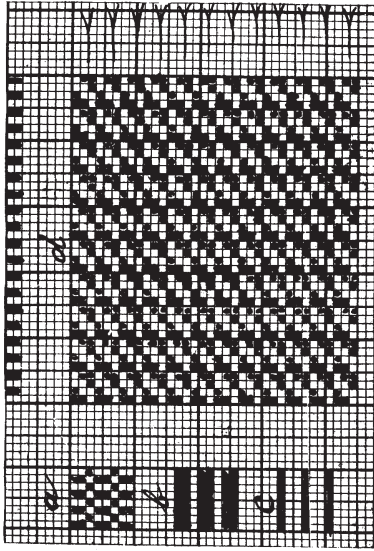


Fig. 351a—351b.

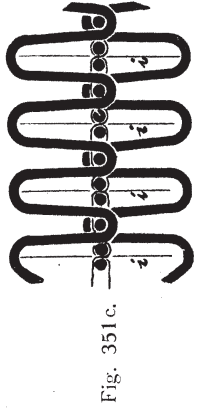
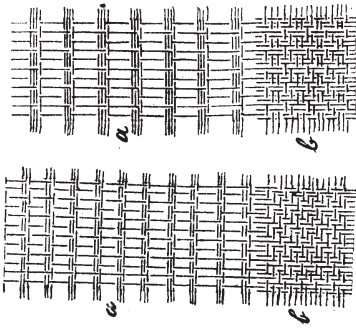


Fig. 351c.

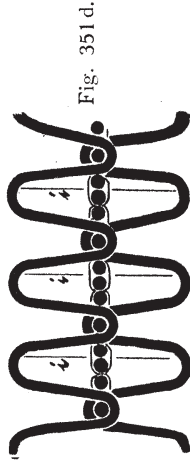


Fig. 351d.

Fig. 352.

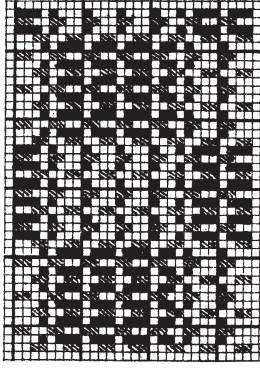


Fig. 353.

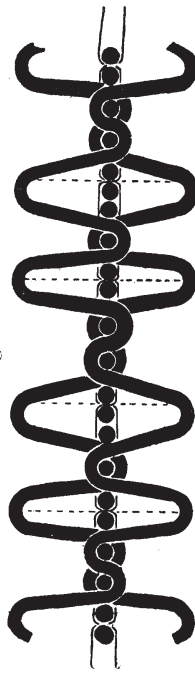


Fig. 354a.

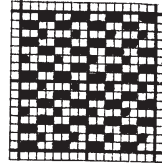


Fig. 354b.

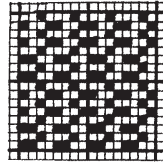


Fig. 354c.

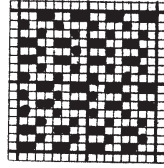


Fig. 354d.

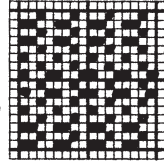


Fig. 354e.

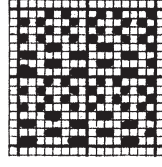


Fig. 354f.

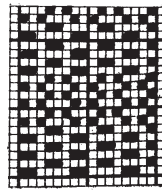


Fig. 354g.

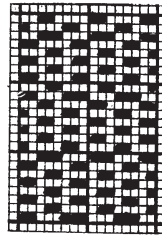


Fig. 354h.

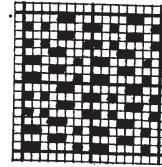


Fig. 354i.

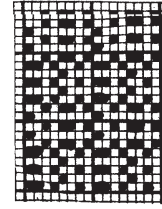


Fig. 354k.

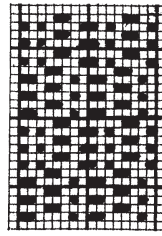


Fig. 354l.

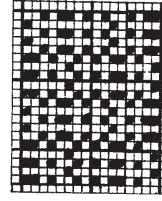


Fig. 354m.

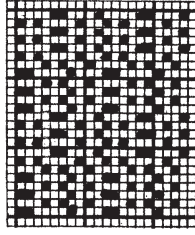


Fig. 354n.

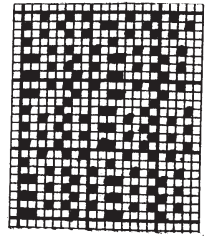


Fig. 354o.

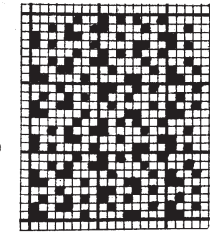


Fig. 354p.

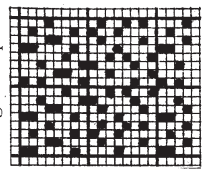


Fig. 354r.

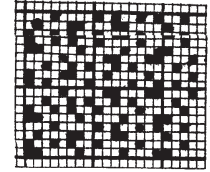


Fig. 355a—355b.



Fig. 356.

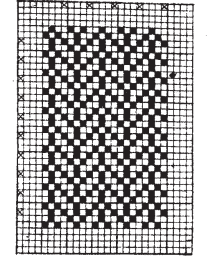


Fig. 358.

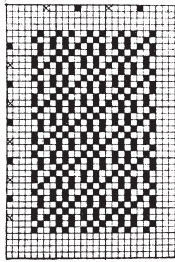


Fig. 359.

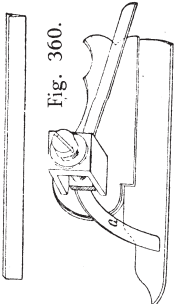


Fig. 360.

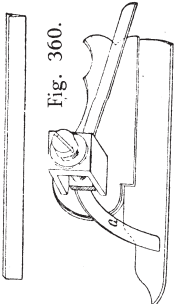


Fig. 357.



Fig. 362c.



Fig. 362b.



Fig. 365.

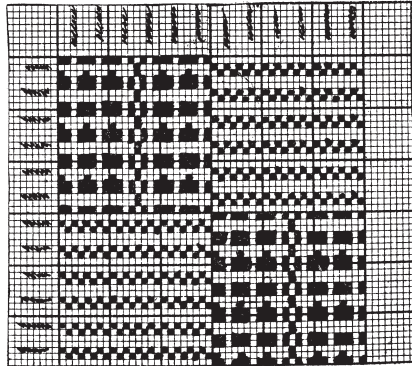


Fig. 363.

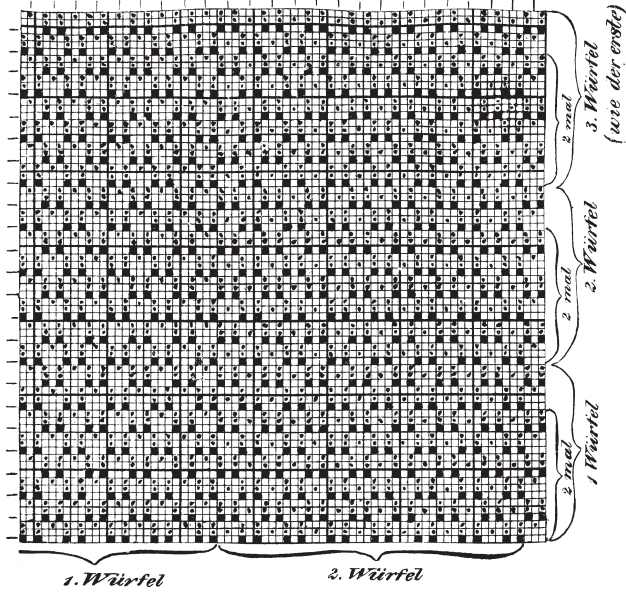


Fig. 361.

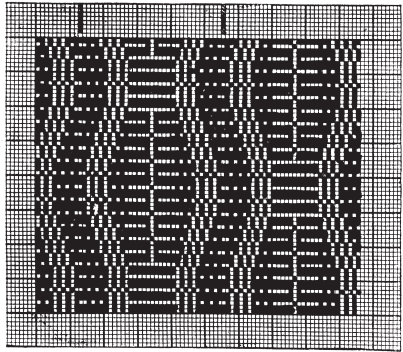


Fig. 362a.

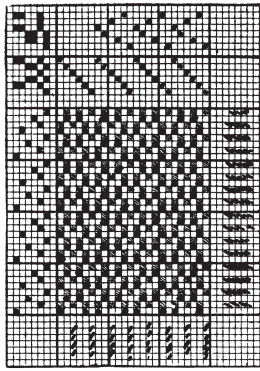


Fig. 364.

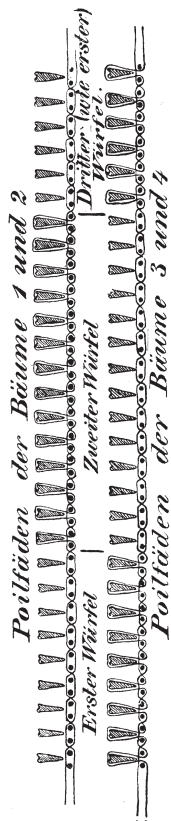


Fig. 366.

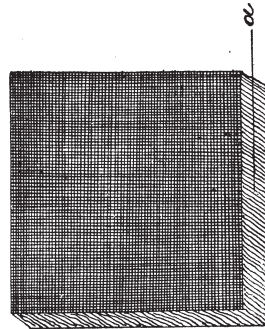


Fig. 368.

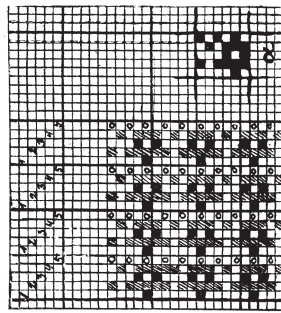


Fig. 369.

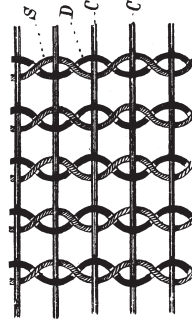


Fig. 370.

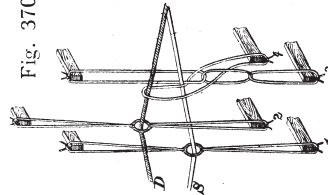


Fig. 371.

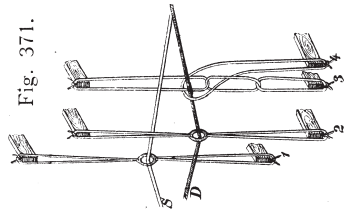


Fig. 372.

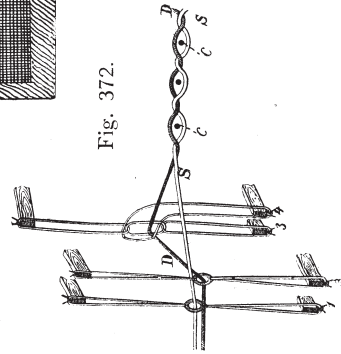


Fig. 367.



Fig. 373.

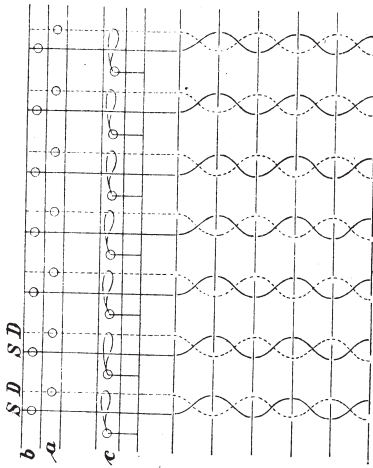


Fig. 376.

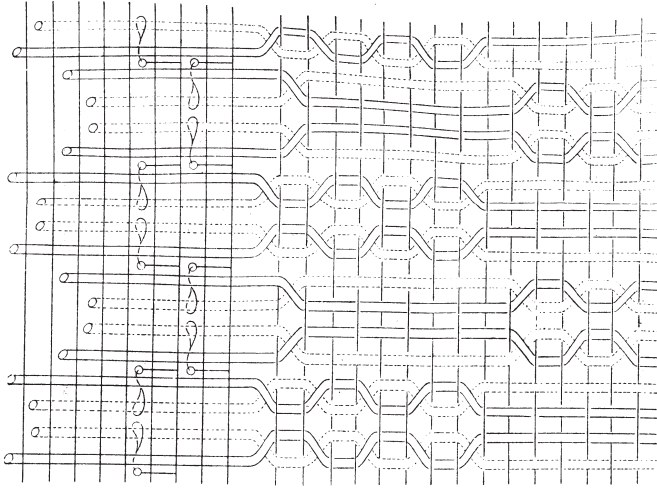


Fig. 378.

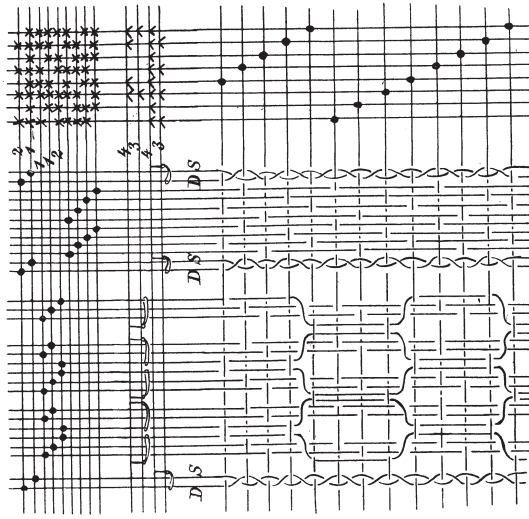


Fig. 374.

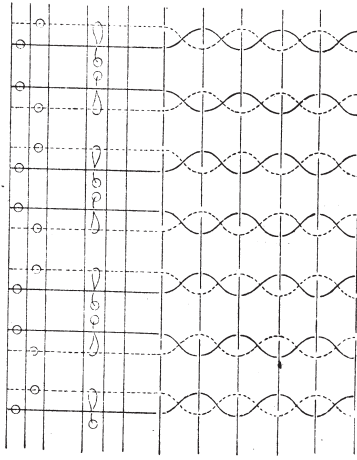


Fig. 379.

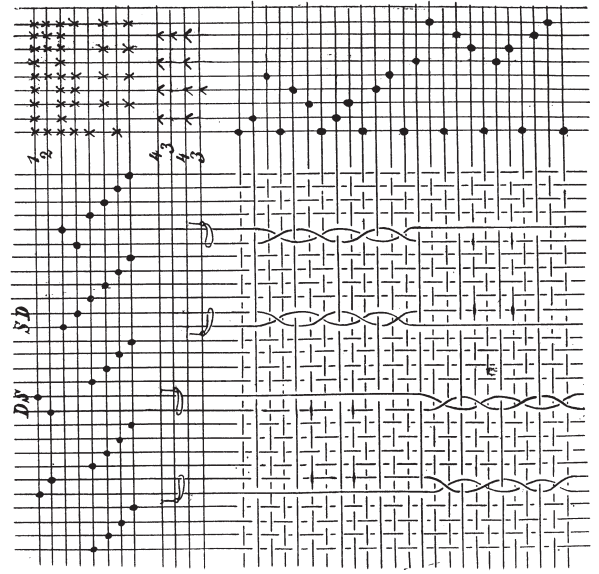


Fig. 377.

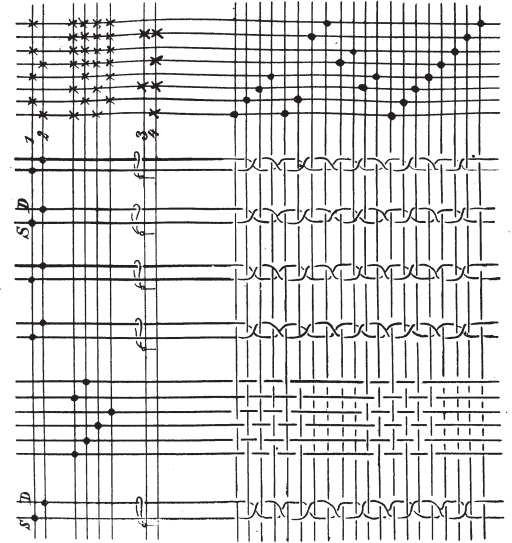


Fig. 375.

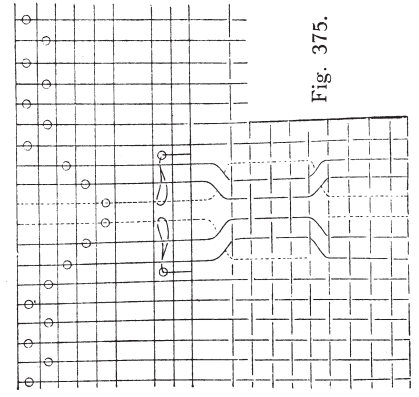


Fig. 380.

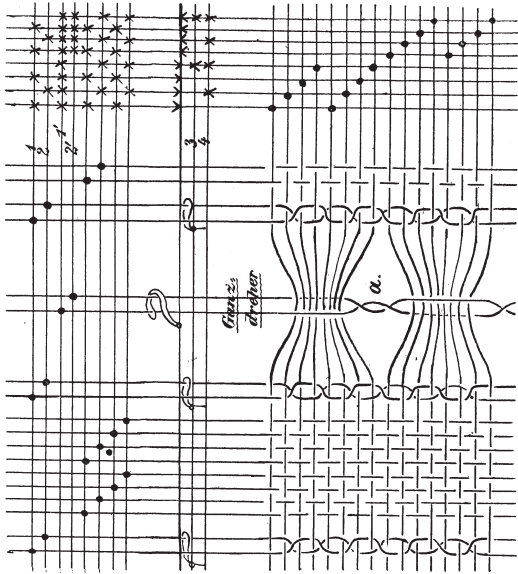


Fig. 391.

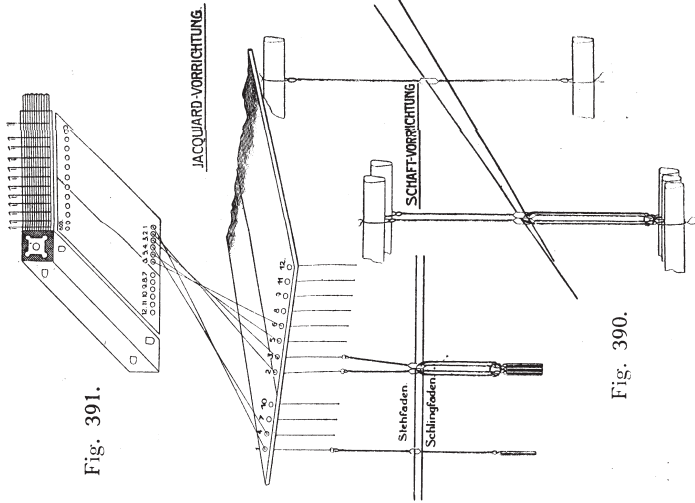


Fig. 393.

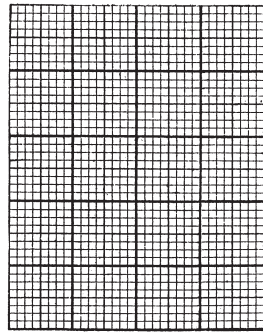


Fig. 393a.

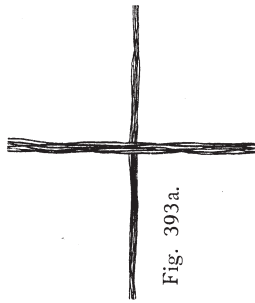


Fig. 393b.

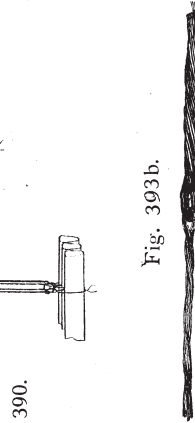


Fig. 386—389.

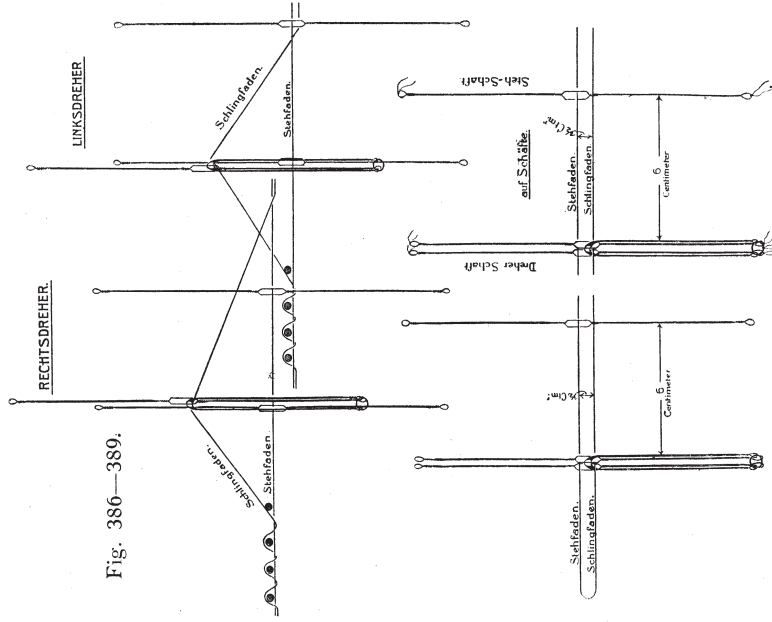


Fig. 392.

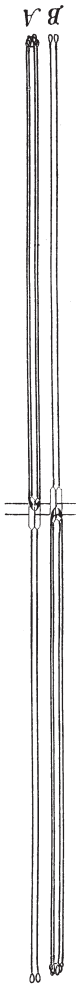


Fig. 383—385.

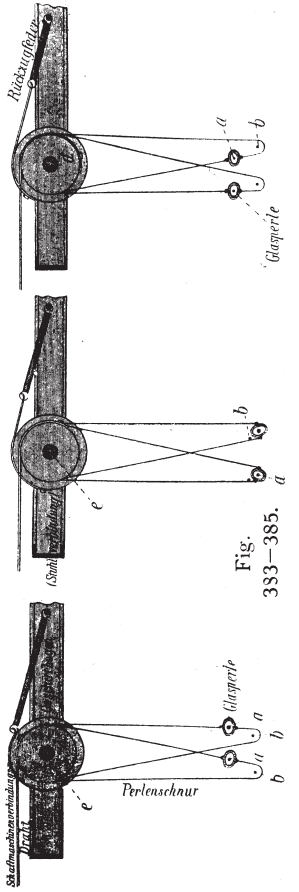
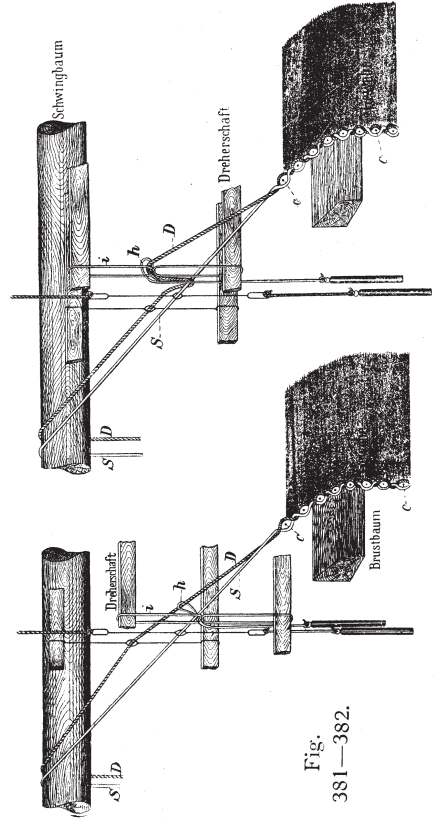


Fig. 381—382.



Tafel 28.
Fig. 394-416.

Fig. 394.

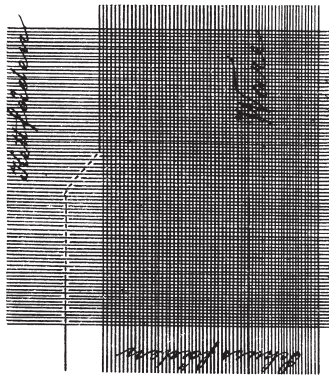


Fig. 395.

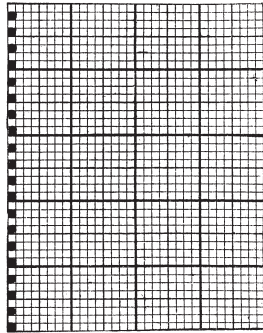


Fig. 396.

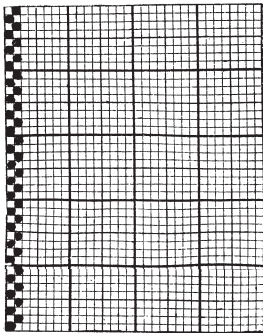


Fig. 397.

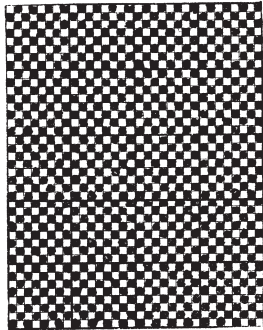


Fig. 398.

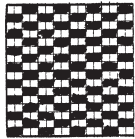


Fig. 399.

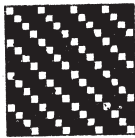


Fig. 400.

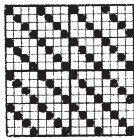


Fig. 401.

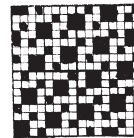


Fig. 402.

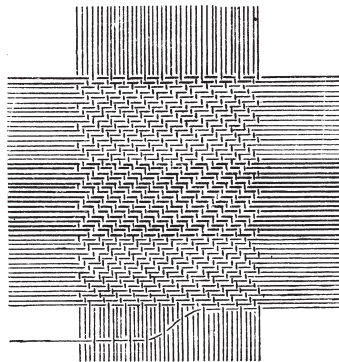


Fig. 403.

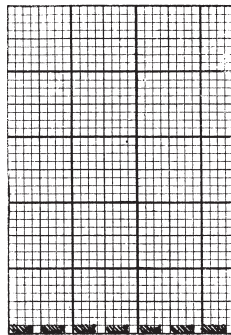


Fig. 405.

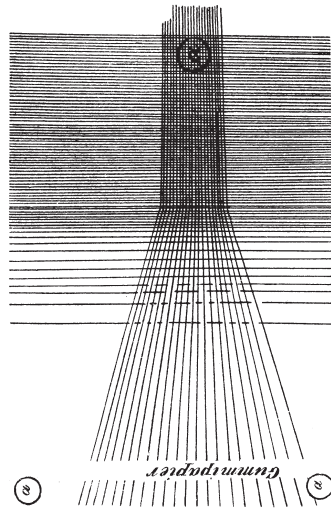


Fig. 404.

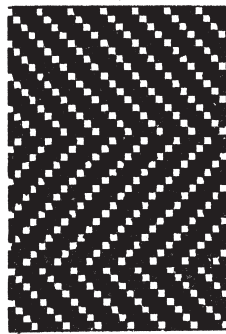


Fig. 406.

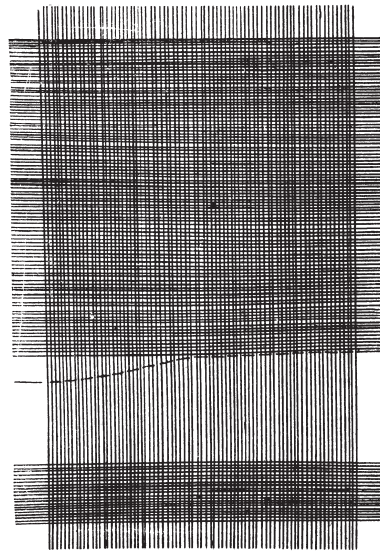


Fig. 407.

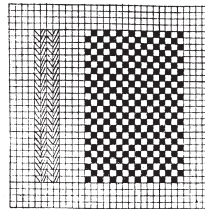


Fig. 408.

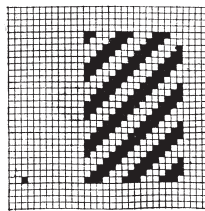


Fig. 409.

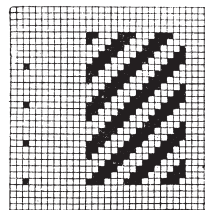


Fig. 410.

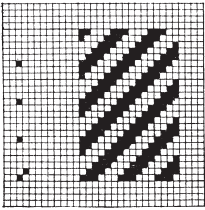


Fig. 411.

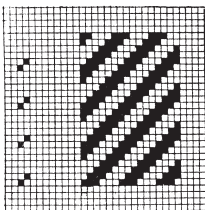


Fig. 412.

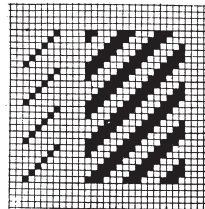


Fig. 413.

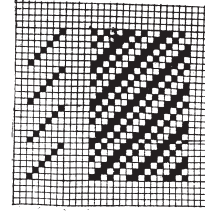


Fig. 414.

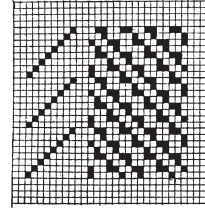


Fig. 415.

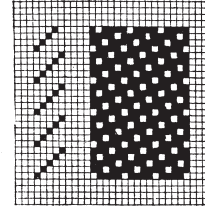


Fig. 416.

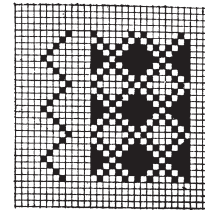


Fig. 417.

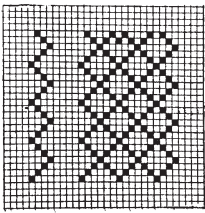


Fig. 418.

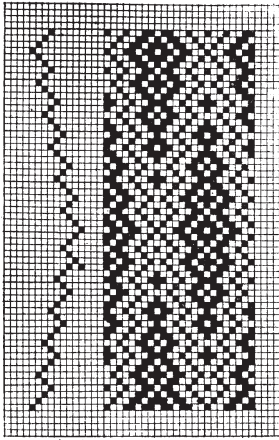


Fig. 419.

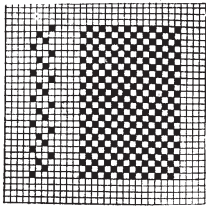


Fig. 420.

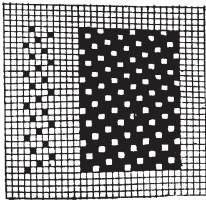


Fig. 425.

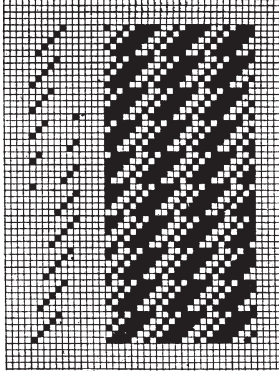


Fig. 421.

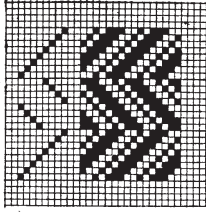


Fig. 422.

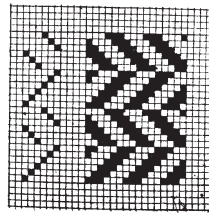


Fig. 423.

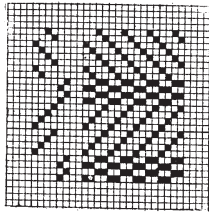


Fig. 424.

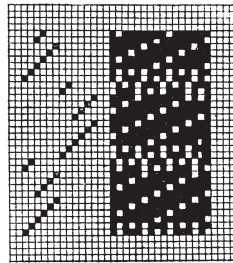


Fig. 426.

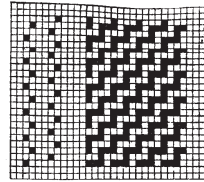


Fig. 427.

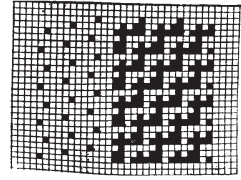


Fig. 428.

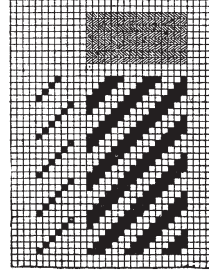


Fig. 429.

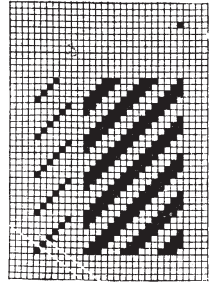


Fig. 430.

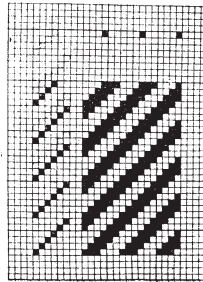


Fig. 431.

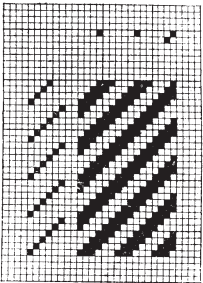


Fig. 432.

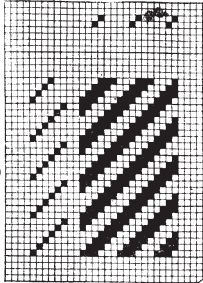


Fig. 433.

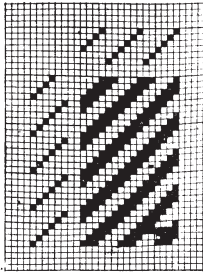


Fig. 434.

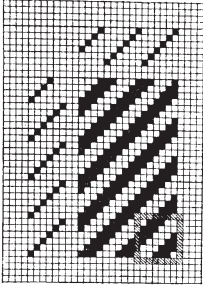


Fig. 435.

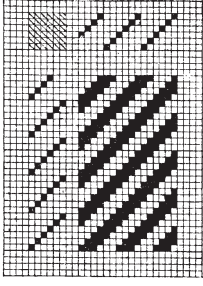


Fig. 436.

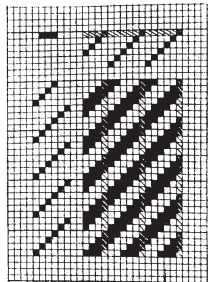


Fig. 437.

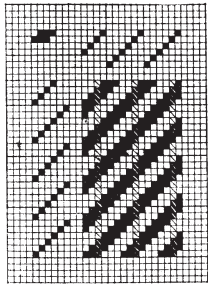


Fig. 438.

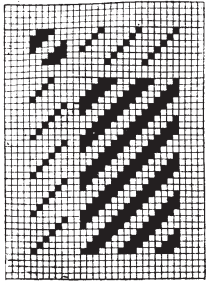


Fig. 439.

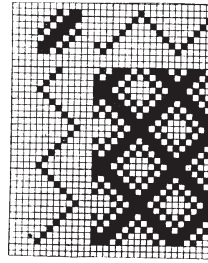


Fig. 440.

